

Глад

Московский государственный технический университет
им. Н. Э. Баумана

Б. В. Стрелков, Ю. Г. Шерстняков

АСИНХРОННЫЕ ЭЛЕКТРИЧЕСКИЕ ДВИГАТЕЛИ

Издательство МГТУ им. Н. Э. Баумана
1995

ББК 31.26 I.63

С84

Рецензенты: А.Н.Вареник, В.В.Каратаев

С84 Стрелков Б.В., Шерстяков Ю.Г. Асинхронные электрические двигатели: Учеб. пособие /Под ред. В.А.Маланьина. - М.: Изд-во МГТУ, 1995. - 57 с. . ил.

Изложены общие положения теории асинхронных двигателей; даны основные определения, приведены главные конструкции асинхронных двигателей. Рассмотрены схемы замещения, приведен вывод основных характеристик двигателей, проанализированы способы регулирования скорости. Предназначено для студентов приборостроительных специальностей, изучающих курс ТОЭ, а также при проектировании курсового проектирования.

Ил. 47. Библиогр. 7 назв.

ББК 31.26 I.63

Редакция научной литературы

Борис Викторович Стрелков
Юрий Георгиевич Шерстянов

Асинхронные электрические двигатели

Редактор Л.М.Зилькинд
Корректор О.В.Калашникова
Знаменская редакция Н.Г.Ковалевская

(С) МГТУ им. Н.Э.Баумана, 1995.

Подписано в печать 6.02.95. Формат 67х84/16. бумага тип. № 2.
Печ. л. 3,5. Усл. печ. л. 3,25. Уч.-изд. л. 3,17.
Тираж 500 экз. Изд. № 2. Знак

Издательство МГТУ, типография МГТУ.
ИУ7005, Москва, 2-я Бутырская, 5.

С66

Открытие в 1880-х годах Г.Феррадисом и Н.Тесла вращающегося магнитного поля, получаемого с помощью переменных токов, положило начало конструированию многофазных электрических машин. Наиболее экономичной среди многофазных систем переменного тока оказалась система трехфазного тока, основы которой разработал в 1889-1891 гг. инженер М.Доливо-Добровольский. Предложенная им конструкция трехфазного асинхронного двигателя в основных чертах сохранилась до наших дней.

Асинхронные машины используются в основном как двигатели (АД), и в настоящее время они наиболее распространены во всех отраслях промышленности благодаря конструктивной простоте, низкой стоимости и высокой эксплуатационной надежности при минимальном обслуживании. По возможностям регулирования частоты вращения АД уступает двигателем постоянного тока. По конструкции и принципу действия АД в системах автоматики (электрические машины мощностью до 1 кВт) подразделяются следующим образом:

трехфазные двигатели с короткозамкнутым и мессиным ротором;
однофазные двигатели с конденсаторным пуском и со расщепленными или экранированными полюсами;
двухфазные исполнительные двигатели с короткозамкнутым и полым немагнитным ротором.

I. КОНСТРУКЦИЯ АСИНХРОННЫХ МАШИН

I.1. Устройство асинхронного двигателя

АД состоит из неподвижной части - статора - и вращающейся - ротора, разделенных воздушным зазором (рис. 1). Активными частями двигателя являются магнетопровод и обмотка. Магнетопровод статора 1 и ротора 2 обитого исполнения АД с целью уменьшения потерь на вихревые токи изготавливают из листов электротехнической стали 0,35...0,5 мм. Для статора листы штампуют в виде колец 1

3

(рис. 2) с пазами на внутренней стороне. Кольца перед сборкой в пакет изолируют, покрывая слоем лака. Пакет запрессовывают в станину 3 (см. рис. 1), изготоленную, как правило, из литьевого магнитного материала. В пазы пакета укладывают проводники обмотки статора 4 (см. рис. 1), обмотку в них закрепляют о-помары деревянных или пластмассовых клиньев и пропитывают специальным лаком для скрепления проводников и улучшения теплоизводности.

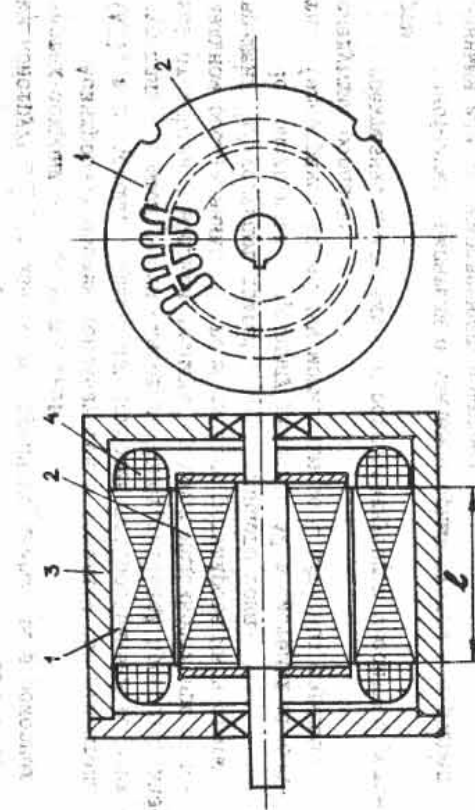


Рис. 2. Статорный магнитопровод с пазами на внутренней стороне.

Концы фаз обмотки статора выводят на зажимы платы выводов и обозначают как, например, для трехфазной обмотки: начало фаз — A, B, C; концы соответствующих фаз — X, Y, Z (рис. 3).

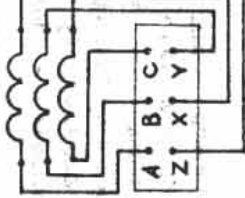


Рис. 3

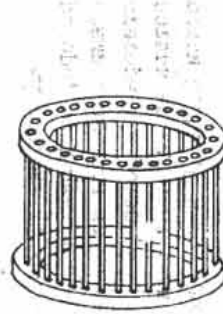


Рис. 4



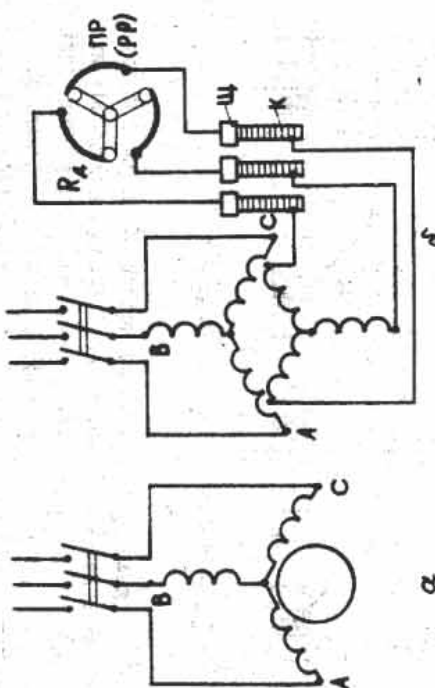
Рис. 5

В АД большой мощности и в некоторых специальных двигателях малой мощности с целью получения большого пускового момента и широкого диапазона регулирования частоты вращения применяются фазные обмотки — фазные роторы. В пазы фазного ротора уложена одна фазная обмотка, выполненная аналогично обмотке статора. Концы фаз обмотки ротора присоединены к контактным колышем, укрепленным на валу, по которым скользят щетки. Щетки присоединены к пусковым или регулировочным реостатам (ПР, РР). Принципиальные схемы АД с короткозамкнутым (а) и фазным (б) ротором приведены на рис. 5.

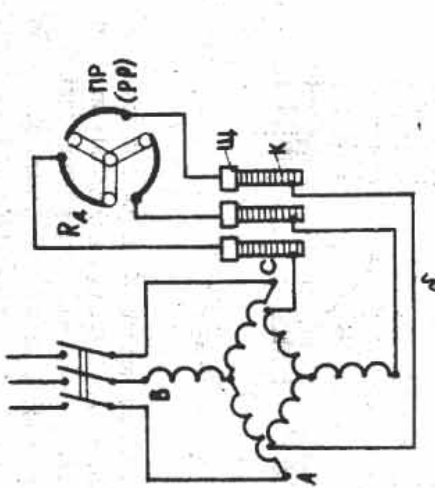
Рис. 5

Сердечник ротора имеет форму цилиндра, набранного из листов 2 (см. рис. 2), имеющих пазы на внешней стороне и посадочное отверстие для вала. Листы в большинстве случаев специально не насыпают, считая достаточной изоляцию оксидом, который образуется на поверхности при отжиге после штамповки.

Обмотка ротора подразделяется на короткозамкнутые и фазные. В машинах малой мощности, в основном, применяют роторы с короткозамкнутой обмоткой — короткозамкнутые роторы. В пазах таких роторов расположены медные или аллюминиевые стержни, соединенные с торцов короткозамкнутыми колышами. Короткозамкнутая обмотка ротора показана на рис. 4, цепь вогнутой фазы получена путем замыкания пакета магнитопровода аллюминиевым сплавом.



а



б

Рис. 2. Основные принципы выполнения обмотки

Обмотка статора с числом фаз m , присоединяется, как правило, к m -разной симметричной сети переменного тока и предназначена для образования магнитного поля с числом пар полюсов p . Для получения симметричной системы магнитных полюсов обмотки фаз должны быть симметричными, т.е. иметь одинаковое сопротивление обмоток фаз и амплитуду индукции в них ЭДС, а фазовый сдвиг между ЭДС должен быть таким же, как и в сети питания между напряжениями фаз. Для получения этого необходимо знать правильную форму катушки (секции), которая называется основным элементом обмотки якоря (секцией), которая может быть одновитковой (состоит из одного витка) (рис. 6) и многовитковой, которая изображается на схемах условно в виде замкнутого контура (рис. 7). Части катушки, лежащие в пазах, называются активными, а вне пазов — лобовыми. Широкие катушки (расстояние между разными сторонами одной катушки определяется шагом U) и называются шагом обмотки.

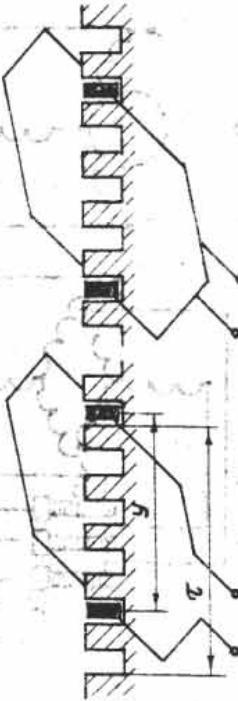


Рис. 6

Здесь Z — число зубцов (пазов) магнитопровода; D — диаметр внутренней расточки статора; Y_K — расстояние между сторонами катушки; $t_z = \pi D / Z$ — зубцовое деление — длина дуги по внутренней окружности (расточки) статора между серединами соседних зубцов или пазов.

Если $U = 5$, то это означает, что начало катушки лежит, например, в пазу 1, а конец ее — в пазу 6 (Рис. 5). Шаг у всегда равен целому числу; полное деление может иметь как целое, так и дробное значение.

Если $U = \zeta$, то обмотка называется обмоткой с диаметральным шагом, или полным шагом, а если $U < \zeta$ — с укороченным шагом. Обычно $U \approx 0,8 \zeta$, что дает возможность получить форму индукции поля и индуцированной ЭДС, близкие к синусоидальному.

По расположению сторон катушек в пазу обмотки подразделяют на однослойные и двухслойные. Если в пазу размещается только одна катушечка стороны (рис. 8), то обмотка однослойная, а если две (рис. 9), — двухслойная. Только двухслойную обмотку можно выполнять с укороченным шагом.

Обмотка машины состоит из нескольких частей, каждая из которых представляет разомкнутую систему последовательно соединенных катушек, называемую обмоткой фазы. Различают однофазные, двухфазные и трехфазные обмотки.

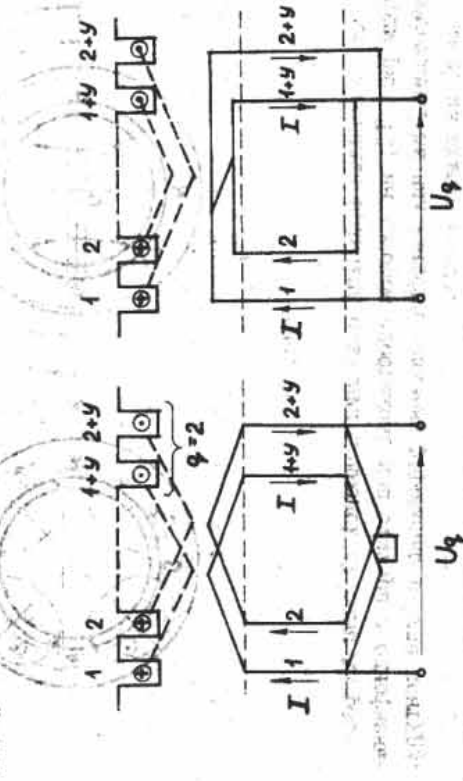


Рис. 7

Для того чтобы ЭДС проводников двух активных сторон катушки суммировалась, эти стороны должны располагаться под противоположной полярностью. Поэтому шаг у должен быть примерно равен одному полюсному делению ζ , под которым понимают длину дуги, соответствующую одному полюсу электромагнитной системы. Полюсное деление и шаг обмотки измеряются либо в миллиметрах (по окружности зазора), либо в зубцовых делениях:

$$\zeta = \pi D / 2p \text{ (мм)} \text{ или } \zeta = \zeta / (2p) \text{ (зубцовые деления),}$$

$$U = Y_K / t_z \quad (\text{зубцовые деления}).$$

правления ядров завора). Обмотка первого статора создает двухполюсное поле ($p = 1$), у которого угловой период $2\pi/\lambda$ "электрических" радиан (эл.рад.) занимает полную окружность, что соответствует геометрическому углу $2\pi/\lambda$ "геометрических" радиан (геом. рад.). Обмотка второго статора создает четырехполюсное поле ($p = 2$), у которого угловой период $2\pi/\lambda$ эл.рад. занимает половину окружности, т.е. геометрический угол $2\pi/p = \pi/\lambda$ геом.рад. Следовательно, 1 геом.рад. = ρ эл.рад.

Для получения периодического поля во всех катушках фазы должны протекать одинаковые токи, направление которых при переходе от катушки одного полюса к катушке другого чередующегося полюса должно изменяться на обратное.

На рис. 10 представлены обмотки фазы простейшего вида, у которых на каждую фазу одного полюса приходится только один паз. Такие обмотки называются *сосредоточенными*. Обычно для получения достаточного числа витков в фазе и сохранения в то же время приемлемых размеров пазов число пазов в машине делают как можно больше. При этом ряд катушек, принадлежащих одной фазе, стороны которых лежат в соседних пазах, соединяют последовательно в катушечную группу.

Расположенные в соседних пазах стороны катушек одной катушечной группы занимают q' пазов и образуют фазную зону с углом $\gamma = 2\pi p q'/z$. Число пазов, приходящихся на полюс и фазу, $q' = z/(2\rho m)$.

где m – число фаз.
На рис. 8 $q' = 2$, а на рис. 9 $q' = 3$. Число всего q выбирают равным целому числу ($q = 2..6$). Обмотка с числом $q > 1$ называется *распределенной*. Катушки в катушечной группе симметричны относительно друг друга в магнитном поле на углы (электрический) $\alpha_1 = 2\pi p/q/z = \delta/q$.

Катушечные группы каждой фазы могут соединяться последовательно или путем соединения последовательного с единения с параллельным, образуя несколько параллельных ветвей обмотки фазы. В трехфазной четырехполюсной машине, в которой расположение однослойной обмотки представлено на рис. 11а, каждая из фаз A, B, C занимает однаковое число пазов $2\rho q = 8$. Число пазов $z = 24$ и, соответственно, $q = z/(2\rho m) = 2$. Направление токов в катушках (Φ, Θ) обозначено в соответствии.

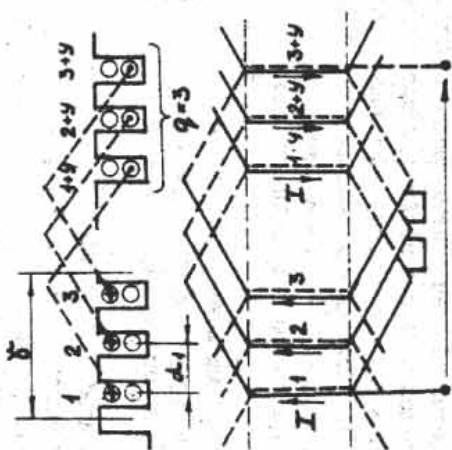


Рис. 9

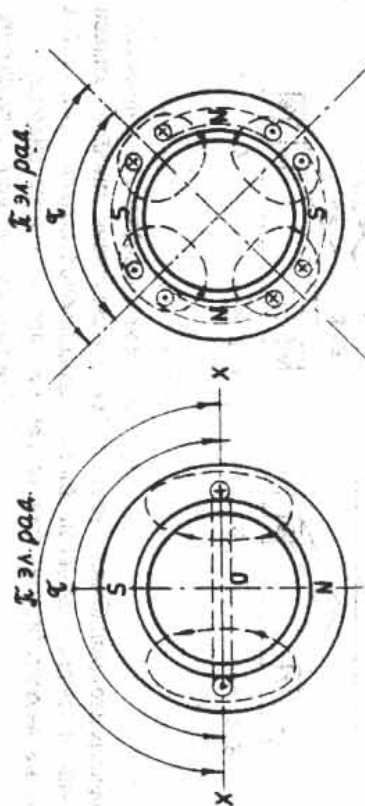


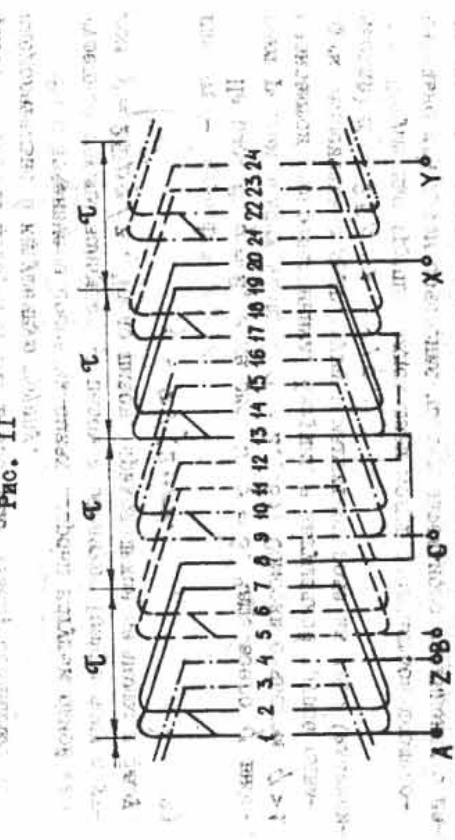
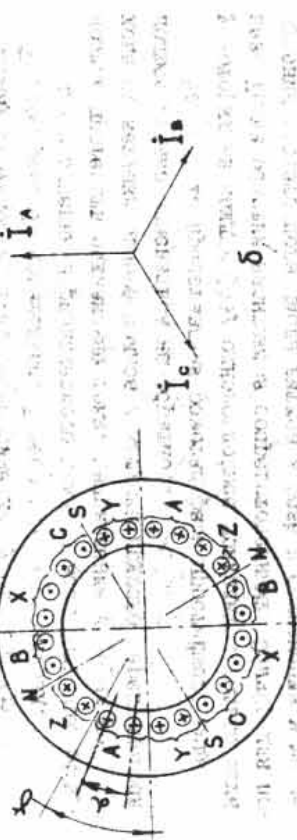
Рис. 10

Для пояснения принципа создания полной системы АД рассматриваем рис. 10, на котором изображены два статора с однополюсными обмотками. На них катушка показана упрощенно в виде контура, состоящего из одного витка.

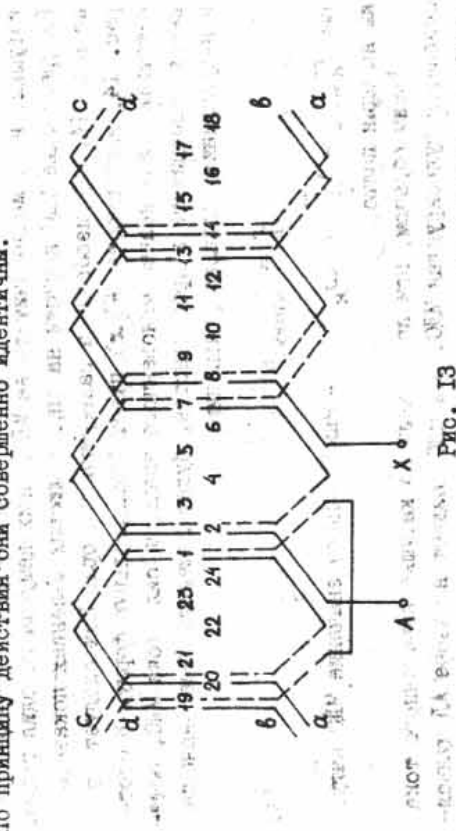
При протекании тока по обмотке образуется магнитное поле, периодически изменяющееся в пространстве (в тангенциальном на-

Двухслойная обмотка находит более широкое применение, чем однослойная, из-за возможности выбора оптимального шага. У этой обмотки стороны катушки расположаются вверху и внизу соответственно вузових пазов, отстоящих друг от друга на шаг U (см. рис. 9), поэтому число катушек в двухслойной обмотке в 2 раза больше, чем у однослоиной. В зависимости от способа соединения катушек в фазе двухслойную обмотку называют волновой или плавевой.

По принципу действия они совершенно идентичны.



Для указанной машины на рис. 12 приведена схема соединений катушек трапециoidalной формы для однослоиной обмотки. Катушка намотана по шаблону и поэтому обмотка называется шаблонной. Для наглядности внутренняя поверхность статора развернута в плоскость, а все катушки и их соединения изображены в виде линий.



На рис. 13 показана схема развертки одной фазы двухслойной волновой обмотки. На схеме верхняя катушка изображена сплошной линией, а нижняя - штриховой.

2. МАГНИТОДВИЖУЩАЯ И ЭЛЕКТРОДВИЖУЩАЯ СИЛЫ ОБМОТКИ

2.1. Магнитодвижущая сила

При прохождении тока по обмотке образуется магнитодвижущая сила (МДС), параметры которой зависят от устройства обмотки и протекающих по ней токов. Рассмотрим вначале МДС одноярусной катушки, что на статоре двухполюсной машины в пазах размещена катушка с числом витков ω_k и шагом $U = t$. Воздушный зазор между статором и ротором равномерный. Если по катушке про-

текает ток I , то магнитодвижущая сила, создаваемая катушкой, равна

II

пустить синусoidalный ток $i_k = \sqrt{2} I \sin \omega t$, то он создает магнитное поле, линии которого показаны на рис. 10а.

Каждая сдовная линия этого поля сцеплена со всеми катушками катушки. Поэтому создаваемая катушкой МДС $f_k = i_k \omega_k$. Так как обе части машины симметричны относительно плоскости, проходящей через катушечные стороны (ось $x - x'$), то на каждую половину магнитной цепи будет приходиться половина МДС катушки, и ее можно считать за МДС, приходящую на один полюс.

Распределение МДС катушки на двух полюсных делениях показано на рис. 14, где изображена развертка статора. Как следует из рис. 14, зависимость $F(x)$ имеет прямоугольную форму. В соответствии с изменением мгновенного значения силы тока МДС, оставаясь неподвижной в пространстве, будет изменять свое значение и направление, согласно уравнению

$$f_k = F_{k\max} \sin \omega t, \quad (4)$$

где $F_{k\max} = \frac{\sqrt{2}}{2} I \omega_k$ — максимальное значение МДС катушки на один полюс.

Таким образом, при протекании по катушке переменного тока создается пульсирующая МДС. Эта МДС создает в зазоре АД пульсирующее магнитное поле.

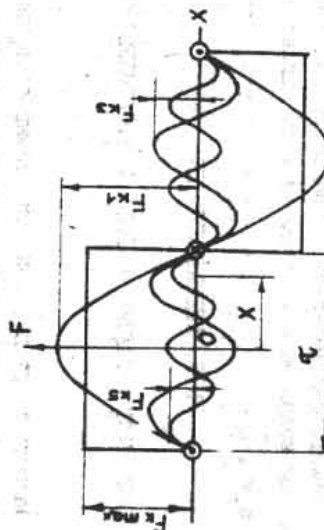


Рис. 14

Протебретая магнитным сопротивлением стали, можно считать, что МДС расходуется на преодоление сопротивления воздушных зазоров:

$$i_k \omega_k = 2 \delta H, \quad (5)$$

где H — напряженность магнитного поля в зазоре δ . Отсюда индукция в зазоре

$$B = (\mu_0 i_k \omega_k / (2 \delta)) = G \cdot f_k / 2, \quad (6)$$

где $G = (\mu_0 / \delta)$ — удельная магнитная проницаемость воздушного зазора.

Как следует из выражения (6), магнитная индукция B прямо пропорциональна МДС f_k и поэтому в дальнейшем можно рассматривать только МДС.

МДС $F(x)$ можно разложить в ряд Фурье, выбрав начало координат по оси симметрии катушки (см. рис. 14):

$$f_k(x, t) = (2\sqrt{2}/\pi) F_{k1} [\cos \omega x/c + 1/3 \cos 3\omega x/c + \\ + \frac{1}{5} \cos 5\omega x/c + \dots] \sin \omega t. \quad (7)$$

Первая гармоника МДС катушки имеет полупериод τ и амплитуду $F_{k1} \approx 0.9 F_{k\max}$. Третья, пятая и более высокие гармоники имеют полупериоды $\tau/3$, $\tau/5$ и т. д., а амплитуды $F_{k3} = F_{k1}/3$; $F_{k5} = F_{k1}/5$ и т. д. Поскольку все высшие гармоники являются составляющими прямоугольника МДС, то они пульсируют с одной и той же частотой, равной частоте текущего по обмотке тока.

Кривая МДС сосредоточенной обмотки имеет большое отклонение от синусоидальной формы, что ведет к ухудшению энергетических показателей машин. Поэтому такая обмотка имеет ограниченное применение.

МДС распределенный по окружности статора обмотки имеет ступенчатую форму (рис. 15), изменяясь от паза к пазу за счет суммирования прямоугольных МДС катушек. С увеличением q МДС приближается к синусоиде.

Коэффициент k_p можно определить с помощью векторной диаграммы (рис. I6б). Рассматривая векторы $F_{k,y}$ как часть многоугольника, вписанного в окружность радиусом R , получаем

$$k_p = \frac{2R \sin(q\alpha_y/2)}{q^2 R \sin(\alpha_y/2)} = \frac{\sin(q\alpha_y/2)}{q \sin(\alpha_y/2)}. \quad (8)$$

Для получения формы МДС, близкой к синусoidalной, наряду с распределением применяют укорочение шага двухслойной обмотки ($y < t$). Уменьшение МДС при этом учитывается с помощью коэффициента укорочения по формуле

$$k_{yv} = \sin(y\beta/2) = \sin(y\gamma/2\tau). \quad (9)$$

Коэффициенты k_p и k_y для высших гармоник снижаются значительно сильнее, чем для основной гармоники. Так, например, для $m = 3$ и $q = 3$, $\alpha_1 = 20^\circ$ и $y/\tau = 7/9$ отношение амплитудных значений

$$F_{q_3}/F_{q_1} = (1/y)(k_p, k_{yv}/(k_{p1}, k_{y1}))$$

для седьмой, пятой и третьей гармоник составляет соответственно:

$$F_{q_7}/F_{q_1} = 0,025; F_{q_5}/F_{q_1} = 0,0084; F_{q_3}/F_{q_1} = 0,123.$$

Третья гармоника имеет наибольшую величину, но при соединении фазных обмоток в звезду она не оказывает существенного влияния на работу машины.

Вследствие указанных мер в плите МДС обмотки фазы на один полюс составляет

$$F_\phi \approx F_{q_1} = 0,9 \Gamma \omega_k q k_{yv} = 0,9 \Gamma \omega k \omega_1 / P. \quad (10)$$

Для двухслойной обмотки:
обмоточный коэффициент $k_{\omega_1} = k_{p1}, k_{y1};$
число витков обмотки фазы $\omega = 2pq \omega_k / a$.

Для однослойной обмотки:

$$\begin{aligned} k_{\omega_1} &= k_{p1}; \\ \omega &= pq \omega_k / a. \end{aligned} \quad (12)$$

Здесь a — число параллельных ветвей обмотки фазы.

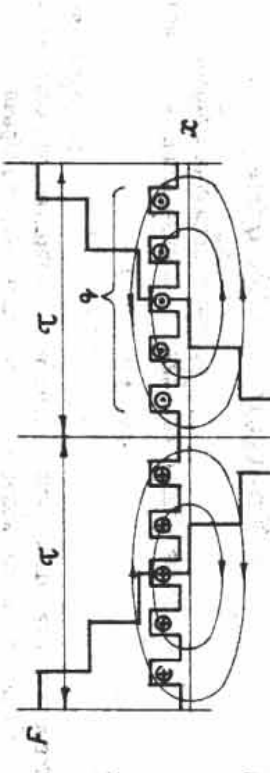


Рис. 15

"Прямоугольные кривые" МДС катушек разложены в гармонический ряд. Тогда амплитудные значения гармоник результирующей МДС $F_{q,y}$ получим в результате геометрического сложения амплитуд соответствующих гармоник МДС отдельных катушек $F_{k,y}$. При этом следует учитывать, что y -е гармоника МДС катушки сдвинута одна относительно другой по фазе на электрический угол $\alpha_y = y\alpha_1 = y \cdot 360^\circ p/z = y\alpha p$ из-за пространственного сдвига катушки в группе на угол $\alpha = 360^\circ/z$ ($\alpha_1 = p\alpha$). Геометрическая сумма МДС $F_{q,y}$ катушечной группы (рис. I6а) будет меньше арифметической суммы $q F_{k,y}$. Отношение $F_{q,y}/q F_{k,y} = k_{p,y}$ называется коэффициентом распределения обмотки, который характеризует уменьшение МДС катушечной группы (фазы) вследствие распределения обмотки.

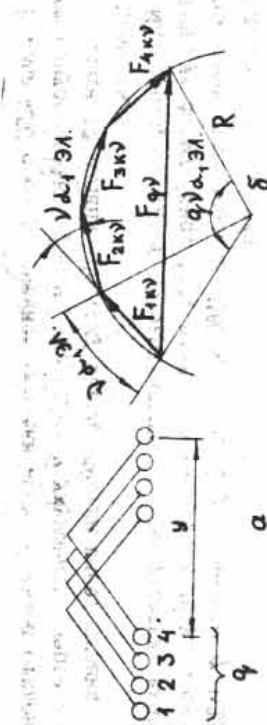


Рис. 16

Итак, пульсирующей МДС однодиодной обмотки в любой точке статора и в любой момент времени

$$f_{\Phi}[x, t] = F_{\Phi} \cos \beta x / \tau \sin \omega t. \quad (15)$$

Эту МДС можно разложить на две вращающиеся МДС, заменив равенство (13), солидно тригонометрическому преобразованием

$$\sin \alpha \cos \beta = 0,5 \sin(\alpha + \beta) + 0,5 \sin(\alpha - \beta). \quad (14)$$

Думма слагаемыми:

$$f_{\Phi}[x, t] = 0,5 F_{\Phi} \sin(\omega t - \beta x / \tau) + \\ + 0,5 F_{\Phi} \sin(\omega t + \beta x / \tau) = f'_{\Phi} + f''_{\Phi}. \quad (15)$$

Каждое слагаемое правой части представляет собой уравнение вращающейся волны МДС с постоянной амплитудой $0,5 F_{\Phi}$. В качестве полюсодержательного направления примем направление вращения волны по часовой стрелке. Координату точки x , в которой МДС f'_{Φ} максимальна, можно получить, положив $\sin(\omega t - \beta x / \tau) = 1$. При этом $\omega t - \beta x / \tau = \pi / 2$, откуда

$$x = \tau (\omega t - \pi / 2) / \beta. \quad (16)$$

При увеличении угла ωt координата точки x перемещается по часовой стрелке; значит, f'_{Φ} — полюсодержательная (прямая) волна. Линейная скорость перемещения волны МДС f'_{Φ}

$$v' = dx / dt = \omega t / \beta = 2\pi f = 2\pi / T. \quad (17)$$

За один период T магнитное поле проходит пару полюсов.

Частота вращения МДС f'_{Φ} (частота вращения магнитного поля)

$$n'_1 = 60 v' / \pi D = 60 \cdot 2\pi f / (2\pi D) = 60 f / D. \quad (18)$$

Аналогично определим частоту вращения МДС f''_{Φ} :

$$n''_1 = -60 f / D. \quad (19)$$

Таким образом, пульсирующую МДС однодиодной обмотки можно разложить на две МДС, вращающиеся с одинаковыми частотами в противоположные стороны, причем каждая из этих МДС имеет амп-

литуду, равную половине амплитуды пульсирующего поля. Разложение пульсирующей МДС $f_{\Phi}(x, t)$ на две вращающиеся МДС F'_{Φ} и F''_{Φ} приведено на рис. I7a. Концы векторов F'_{Φ} и F''_{Φ} на рис. I7b, вращаюсь в разные стороны с одинаковой скоростью, описывают окружность. Такие МДС и поля, созданные ими, называются круговыми вращающими.

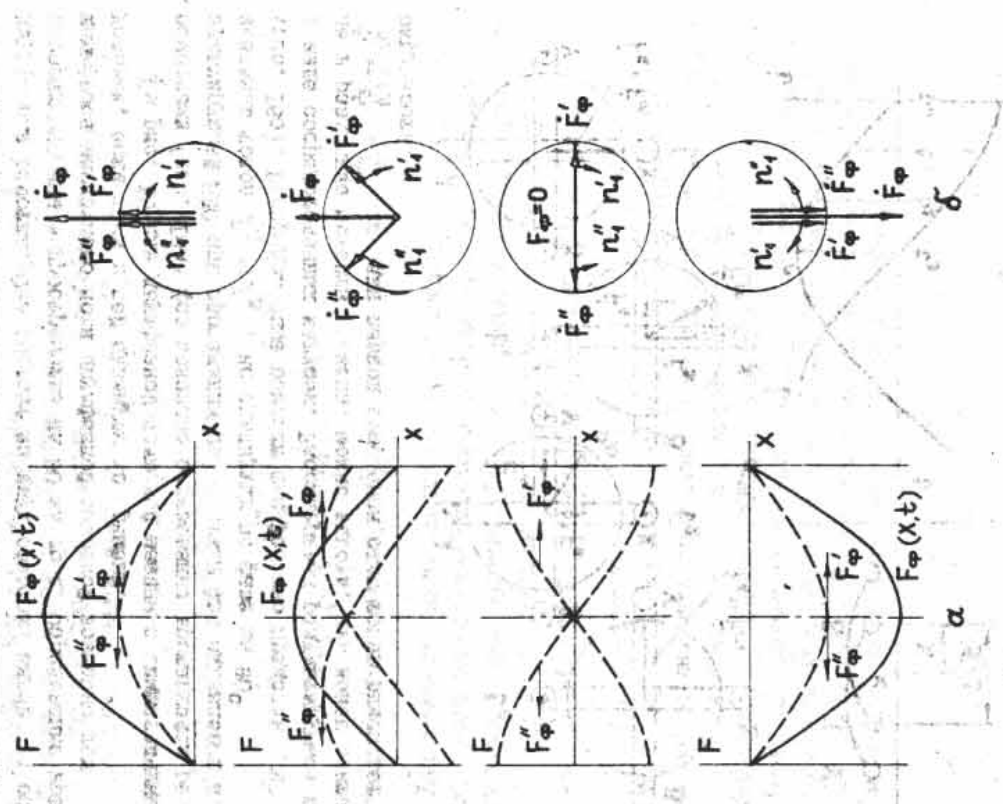


Рис. I7

2.1.2. Двухфазная обмотка

Проблема создания одного вращающегося поля постоянной величины может быть решена путем правильного расположения в пространстве двух или более однофазных обмоток, т.е. так, чтобы вращающееся в обратном направлении поле было скомпенсировано. Простейшим средством достижения этого является симметрическая двухфазная обмотка. Она состоит из двух обмоток, магнитные оси которых смешены в пространстве на 90° эл.град. Образование врачающегося магнитного поля двухфазной обмотки возможно при углахмы, если токи в ней сдвинуты во времени.

На рис. 18 для двухфазной полиспиральной машины с симметрической обмоткой (рис. 18а) фаз показано образование вращающегося результирующей МДС при протекании по обмоткам фаз одинаковых по значению токов $I_A = I_B$, но сдвинутых по фазе на 90° (рис. 18б). Распределение обмотки фаз условно представлено в виде сопредотложенных катушек. Рассматриваем результатирующее поле в различные моменты времени, можно видеть, что конец вектора $\vec{F}_m = \vec{F}_A + \vec{F}_B$ за один период изменения смы токов описывает окружность.

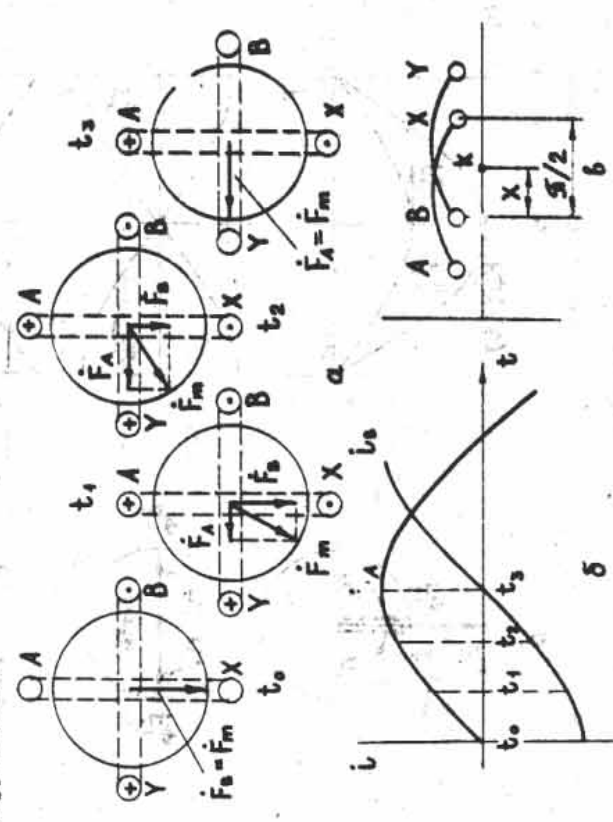


Рис. 18

Допустим, это аналитически. Ток фазы А создает в точке x , расположенной на расстоянии x относительно оси фазы А (рис. 18а), МДС $f_A = F_A \cos(\omega x/c) \sin(\omega t)$. Так как ток фазы В сдвигнут на 90° во времени относительно тока фазы А, а ось фазы В сдвинута на 90° эл.град. в пространстве относительно оси фазы А, то ток фазы В в рассчитываемой точке в тот же момент времени создает МДС $f_B = F_B \cos(\omega x/c - \pi/2) \sin(\omega t - \pi/2)$.

Сложив найденные значения МДС, предварительно заменив каждую пульсарную МДС двумя временным, и преобразовав замуказанное выражение с учетом того, что $F_A = F_B = F_\Phi = F_m$ и

$$\sin(\omega t + \pi/2) + \sin(\omega t - \pi/2) = 0,$$

$$f[x, t] = f_A + f_B = 0,5 F_\Phi [\sin(\omega t - \pi/2) + \sin(\omega t + \pi/2)] + 0,5 F_\Phi [\sin(\omega t + \pi/2) + \sin(\omega t - \pi/2)] =$$

$$= F_\Phi \sin(\omega t - \pi/2) - F_\Phi \sin(\omega t + \pi/2).$$

Для изменения направления вращения магнитного поля в двухфазной машине необходимо переключить провода, присоединяющие к сети одну из фаз обмотки. Так, переключив, например, провода фазы В, получим значение ее МДС $f_B = F_B \cos(\omega x/c - \pi/2) = F_m \sin(\omega t + \pi/2)$ и результатирующую МДС $f[x, t] = F_m \sin(\omega t + \pi/2).$

Таким образом, для получения кругового вращающегося поля необходимо осуществить пространственный сдвиг фаз обмотки статора на 90° эл.град. и токов в фазах обмотки во времени на 90° , а также двойной разностя МДС, созданных токами. Если эти условия не выполнены, то поле из кругового превратится в эллиптическое. Эллиптическое поле можно рассматривать как сумму двух неравных круговых полей, врашающихся в противоположные стороны с одинаковой частотой времени.



Рис. 19

2.1.3. Трехфазная обмотка

Трехфазная машина переменного тока имеет на статоре три фазные обмотки, сдвинутые относительно друг друга в пространстве на 120° эл. град. (см. рис. II) и питаемые при симметричных обмотках фаз разными по значению токами, смешенными во времени на 120° . Следовательно, в трехфазной машине имеется три пульсирующие МДС, сдвинутые друг относительно друга во времени и пространстве на 120° :

$$f_A[x, t] = F_\Phi \cos \omega x / \tau \sin \omega t, \quad (21)$$

$$f_B[x, t] = F_\Phi \cos (\omega x / \tau - 2\pi/3) \sin (\omega t - 2\pi/3), \quad (22)$$

Заменив каждую из этих МДС двумя вращающимися и сломив их, получим после преобразования:

$$f[x, t] = 1.5 F_\Phi \sin (\omega t - \omega x / \tau) = F_m \sin (\omega t - \omega x / \tau). \quad (23)$$

Как следует из выражения (23), трехфазная обмотка при протекании по ней трехфазного тока создает вращающуюся МДС. Амплитуда этой МДС F_m неизменна и в 1,5 раза больше амплитуды МДС одной фазы F_Φ (т.е. $F_m = 1.5 F_\Phi$).

В общем случае симметричной трехфазной обмотки, при выключении ее в трехфазную симметричную сеть, создает вращающуюся МДС с постоянной амплитудой

$$F_m = 0,45 \pi m k \omega_1 / R. \quad (24)$$

Изменить направление вращения можно, изменяя последовательность чередования фаз обмотки, т.е. поменяв местами проводы, подводящие ток из трехфазной сети к двум любым фазам.

2.2. Потокосцепление и электродвижущая сила

Вращающееся магнитное поле пересекает обмотку статора и ротора, наводит в них переменную ЭДС. В фазе обмотки ЭДС может быть найдена как сумма ЭДС в ее простейших элементах — катушках. Поэтому сначала определим ЭДС катушки.

В соответствии с определением МДС основная (первая) гармо-

ника радиальной составляющей индукции в зазоре может быть рассчитана по формуле (5), если участки магнитной цепи не насыщены и воздушный зазор $\delta = \text{const}$,

$$\mathcal{B}[x, t] = (G/2) f[x, t] \cong B_{1m} \sin(\omega t - \omega x / \tau), \quad (24)$$

где $f[x, t]$ — вращающаяся МДС, созданная B_{1m} — фазной обмоткой; B_{1m} — амплитуда основной гармонической индукции.

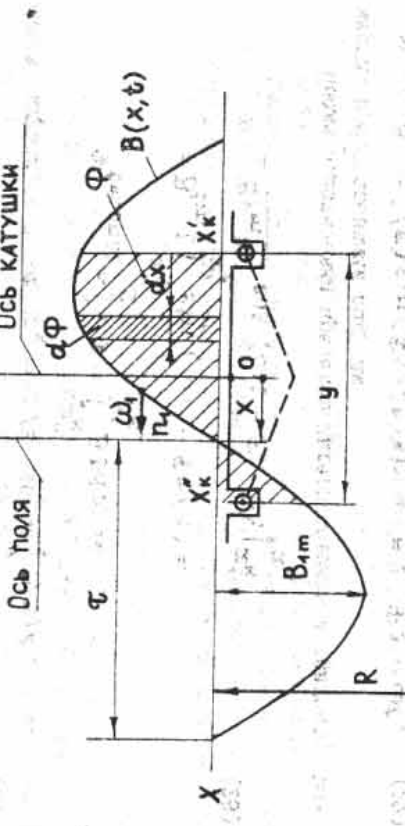


Рис. 19

Рассмотрим катушку, расположенную в пазах статора (рис. 19). Ось катушки примем за начало отсчета координаты x . Вращающаяся волна индукции $B[x, t]$ перемещается относительно катушки со скоростью ω_1 . В момент времени t ось вращающегося поля брошена относительно неподвижной оси катушки на x и расположена, например, так, как это показано на рис. 19.

С витками катушки сцеплен магнитный поток Φ через участок цилиндрической поверхности S_y радиусом R , размером по дуге катета магнитопровода l (см. рис. I):

$$\Phi = \int \mathcal{B}_n dS = \int d\Phi, \quad (25)$$

где B_n – нормальная составляющая к цилиндрической поверхности индукции.

Имея в виду, что на протяжении расчетной длины индукция по оси машины остается постоянной и что в цилиндрической системе координат нормальная составляющая на цилиндрической поверхности равна радиальной составляющей $B_R = B_p = B$, можно перейти от интегрирования по поверхности к интегрированию вдоль окружности, положение точки на которой определяется координатой x . Элемент поверхности $dS = l dx$. Тогда элементарный поток $d\Phi = B l dx$, а интегрирование будем вести по ширине катушки, т.е. от $x'_k = -y/2$ до $x''_k = y/2$.

$$\begin{aligned} \Phi_{t=\text{const}} &= \int_S d\Phi = \int_{x'_k}^{x''_k} B l dx = \\ &= B_{1m} l \int_{x'_k}^{x''_k} \sin(\omega t - \xi x / \tau) = \\ &= \frac{B_{1m} \tau}{\pi} l \cos(\omega t - \xi x / \tau) \Big|_{x'_k}^{x''_k}. \end{aligned} \quad (26)$$

После подстановки пределов интегрирования и тригонометрических преобразований получим

$$\Phi = (2 B_{1m} \tau l / \pi) \sin(\xi y / 2\tau) \sin \omega t = k_y \Phi \sin \omega t, \quad (27)$$

где $\Phi = 2\pi l B_{1m} \tau / \pi$ – максимальный поток, сцепленный с овальным катушкой, которая не имеет укорочения шага ($y = \tau$); $k_y = \sin(\xi y / 2\tau)$ – коэффициент укорочения шага катушки для первой гармонической составляющей поля (при $y = \tau$, $k_y = 1$).

Из выражения (27) следует, что поток, сцепленный с витками катушки, изменяется с круговой частотой $\omega = \xi \tau / p / 30 = 2\pi f_1$. Погонсплеливание вращающегося поля о катушкой

$$\psi_k = \omega_k \Phi = \psi_{k\pi} \sin \omega t, \quad (28)$$

$$\text{где } \psi_{k\pi} = \omega_k k_y \Phi_{1\pi},$$

ЭДС катушки $e_k = -d\psi_k / dt = -\omega \psi_{k\pi} \sin(\omega t + \pi/2)$.

Действующее значение ЭДС катушки

$$E_{k1} = \omega \psi_{k\pi} \sqrt{2} = (2\pi / \sqrt{2}) f_1 \psi_{k\pi} = 4.44 f_1 \psi_{k\pi}. \quad (29)$$

Таким образом, действующее значение ЭДС, называемое врашающимся магнитным полем в сопротивленной обмотке, определяется по той же формуле, что и для трансформатора.

Если обмотка распределена и находится в нескольких пазах, то ЭДС в отдельных катушках будут одинаково друг друга по фазе на угол ϕ_1 . Все катушки катушечной группы соединены между собой последовательно, и ЭДС нужно складывать векторно так же, как и МДС распределенной обмотки.

Зная коэффициент распределения (8) и учитывая формулу (29), находим ЭДС катушечной группы

$$E_{q1} = 4.44 f_1 \Phi_{k\pi} \omega_k q k_y k_{p1}. \quad (30)$$

Фаза обмотки образуется из последовательно-параллельно включенных катушечных групп, смешенных относительно друг друга на одно полюсное деление τ таким образом, что достигается армаметическое суммирование их ЭДС в пределах параллельной ветви и равенство ЭДС всех параллельных ветвей:

$$E_{\Phi1} = 4.44 f_1 \omega k \omega_1 \Phi_{1\pi}, \quad (31)$$

где $k \omega_1$ и ω рассчитываются так же, как и для МДС – по выражениям (II) и (12).

В обмотке фазы кроме ЭДС 1-й гармоники будут находиться ЭДС от высших гармоник магнитного поля:

$$E_{\Phi2} = 4.44 f_1 \omega k_{y2} k_{p1} \Phi_{1\pi}, \quad (32)$$

где $f_1 = \sqrt{f_1}$ – частота ЭДС 1-й гармоники.

У распределенной обмотки с укороченным шагом

$$E_{\Phi\Sigma} = \sqrt{\sum_{j=1}^J E_{\Phi j}^2} \approx E_{\Phi1}, \quad (33)$$

3. ЭЛЕКТРОМАГНИТНЫЕ ПРОЦЕССЫ В ЦЕЛЯХ ДВИГАТЕЛЯ

3.1. Принцип действия машины

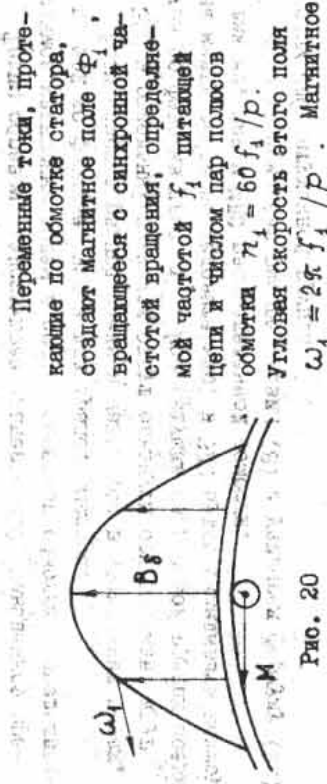


Рис. 20

Переменные токи, протекающие по обмотке статора, создают магнитное поле Φ_1 , вращающееся с синхронной частотой вращения f_1 , питающей цепь и числом пар полюсов p обмотки $n_1 = 60 f_1 / p$. Угловая скорость этого поля $\omega_1 = 2\pi f_1 / p$. Магнитное поле Φ_1 при вращении пересекает проводники обмотки ротора и наводит в них ЭДС. На рис. 20 показано, согласно правилу прямой руки, направление ЭДС в одном из проводников ротора. При определении направления ЭДС применяем условно поле неподвижным, а проводник - движущимся в направлении, противоположном направлению поля. Возникшие в замкнутых целях ротора многообразные токи I_2 создают свой вращающийся магнитный поток ротора Φ_2 с теми же числом пар полюсов, направлением и скоростью вращения, как и у потока статора. Поэтому поля Φ_1 и Φ_2 вращаются синхронно и образуют общий врачающийся поток двигателя Φ , который в дальнейшем и участвует в создании ЭДС в обмотках и электромагнитного момента.

В результате взаимодействия токов ротора с магнитными полями возникает действие на проводники ротора механические силы F и вращающий электромагнитный момент M . Вращающий момент создается только активной составляющей тока ротора $I_{2a} = I_2 \cos \psi$, которая по направлению совпадает с ЭДС. Как можно установить по правилу левой руки, направление момента и вращения ротора будут совпадать с направлением вращения поля. По мере разгона ротора его скорость n_2 будет увеличиваться, но даже при отсутствии нагрузки на валу - при холостом ходе (х.х.) - она не может достигнуть скорости вращения поля n_1 без внешнего вмешательства, так как исчезает индуктивная связь между проводниками ротора и магнитным полем.

Таким образом, для рассматриваемого двигателя характерной

особенностью является несинхронное (асинхронное) вращение его ротора с магнитным полем. Разницу между окоротными ротора и поля призывают оценивать характеристкой, называемой скольжением S :

$$S = (n_1 - n_2) / n_1. \quad (34)$$

Иногда скольжение выражают в процентах, тогда

$$S \% = 100 \% (n_1 - n_2) / n_1. \quad (35)$$

На рис. 21 показана зависимость между скольжением и скоростью вращения ротора. Скольжение от 0 до 1 соответствует режиму двигателя (АД создает на валу механическую мощность). Если с помощью внешнего привода увеличить частоту вращения ротора n_2 до более n_1 , то скольжение становится отрицательным, и АД через вал потребляет механическую мощность, преобразуя ее в электрический, и за вычетом потерь передает в сеть, т.е. двигатель работает в режиме генератора. Если ротор с помощью внешней механической энергии вращает в сторону, противоположную направлению вращения поля, то скольжение становится больше единицы, двигатель потребляет мощность из сети, а также через вал. Этот режим называется режимом тормоза, или режимом противоводрания.

Так как частота вращения магнитного поля относительно ротора равна $(n_1 - n_2)$, то частота наводимых в ее обмотке ЭДС и тока

$$f_2 = p(n_1 - n_2)/60 = (pn_1/60)(n_1 - n_2)/n_1 = f_1 \cdot S, \quad (36)$$

т.е. частота в роторе не постоянная, а изменяется прямо пропорционально скольжению.

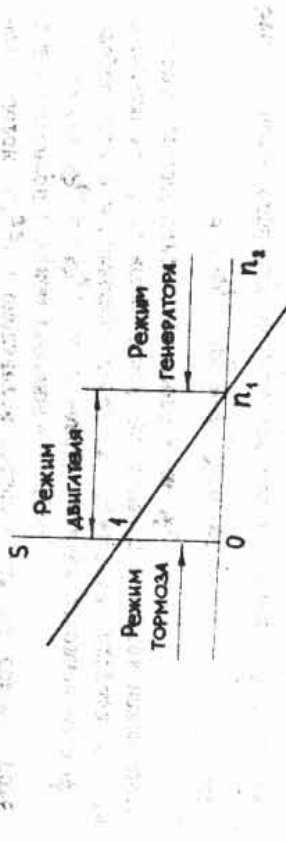


Рис. 21

3.2. Магнитные поля, ЭДС и индуктивности обмотки

Электромагнитные процессы рассмотрим для симметричного режима работы, при котором имеет место круговое вращающееся магнитное поле. Этот режим характерен, как правило, для всех трехфазных АД и двухфазных, где МДС обеих обмоток одинаковы и сдвинуты на угол $\pm 90^\circ$. Для определенности будем иметь в виду двигатель с трехфазной обмоткой на статоре.

Под действием подводимого к фазам обмотки статора напряжения U_1 в них возникает токи I_1 , создающие вращающееся магнитное поле. Большая часть этого поля (поток Φ_1) специфична как о обмоткой ротора, так и о обмоткой статора. Этот поток называется основным потоком обмотки статора. Меньшая часть поля статора (поток Φ_{σ_1}) специфична только о витками обмотки ротора. Этот поток называется потоком рассеяния статора.

Назаденные в фазах обмотки ротора ЭДС частотой $f_2 = f_1 s$ вызванные в их замкнутых цепях токи I_2 такой же частоты, которые создают свое магнитное поле, вращающееся относительно ротора со скоростью

$$\eta_{22} = 60f_2/p = 60f_1 s/p = \eta_1 s. \quad (37)$$

Кроме того, сам ротор вращается со скоростью η_2 . Таким образом, поле ротора вращает относительно поля статора со скоростью $\eta_2 + \eta_{22}$. Учитывая, что $\eta_2 = \eta_1(1-s)$, получаем $\eta_2 + \eta_{22} = \eta_1 s + \eta_1(1-s) = \eta_1$, т.е. поле ротора вращается с такой же скоростью и в ту же сторону, что и поле статора.

Одна часть магнитного поля ротора (поток Φ_2) специфична о объемами обмоток и называется основным потоком ротора, другая часть (поток Φ_{σ_2}) специфична только о витками обмотки ротора и называется потоком рассеяния ротора.

Потоки Φ_1 и Φ_2 , складываюсь, создают основное поле Φ , которое, как и в трансформаторе, при изменении нагрузки от нуля (в режиме х.х.) до нормальной практикается оставаться неизменным, примерно равным потоку холостого хода Φ_0 :

$$\dot{\Phi} = \dot{\Phi}_1 + \dot{\Phi}_2 = \dot{\Phi}_0 = \text{const.} \quad (38)$$

Это равенство справедливо лишь для машин, у которых индукция в зазоре меньше индукции насыщения.

Основной поток Φ , вращаясь в пространстве, пересекает обмотку статора со скоростью $\eta_1 - \eta_2$, и обмотку ротора со скоростью $\eta_{22} = \eta_1 - \eta_2$, наводит в них ЭДС:

$$E_1 = 4.4 f_1 \omega_1 k_1 \Phi_m; \quad (39)$$

$$E_{29} = 4.4 f_2 \omega_2 k_2 \Phi_m = 4.4 f_2 \omega_2 k_2 \Phi_m = s E_1, \quad (40)$$

где $E_2 = 4.4 f_1 \omega_1 k_2 \Phi_m$ – ЭДС, наводимая потоком Φ в обмотке неподвижного ротора (когда $\eta_2 = 0$, $s = 1$, $f_2 = f_1$), $k_1 = k_{\omega_1}$, $k_2 = k_{\omega_2}$.

Таким образом, ЭДС ротора E_{29} изменяется прямо пропорционально скольжению. Она максимальна при пуске ($\eta_2 = 0$, $s = 1$) и равна нулю при идеальном холостом ходе ($\eta_2 = \eta_1$, $s = 0$).

Отношение

$$E_1/E_2 = \omega_1 k_1 / (\omega_2 k_2) = k_E \quad (41)$$

называется коэффициентом трансформации ЭДС.

Потоки рассеяния статора Φ_{σ_1} и ротора Φ_{σ_2} наводят в фазах соответствующих обмоток ЭДС рассеяния E_{σ_1} и E_{σ_2} , которые, как и в трансформаторе, могут быть выражены через токи фаз I_1 и I_2 и индуктивные сопротивления:

$$\dot{E}_{\sigma_1} = -j \dot{I}_1 X_1, \quad \dot{E}_{\sigma_2} = -j \dot{I}_2 X_2, \quad (42)$$

где $X_1 = 2\pi f_1 L_{\sigma_1}$, $X_{2S} = 2\pi f_2 L_{\sigma_2}$ – индуктивные сопротивления рассеяния; L_{σ_1} , L_{σ_2} – индуктивности рассеянных обмоток статора и ротора соответственно.

Так как $f_2 = f_1 s$, то

$$X_{2S} = 2\pi f_1 L_{\sigma_2} s = X_1 s, \quad (43)$$

т.е. индуктивное сопротивление рассеяния при любом скольжении равно индуктивному сопротивлению неподвижной обмотки ротора X_{2S} , умноженному на скольжение.

Силы токов, полученные из уравнений (46) и (47), имея одноковое значение и одинаковые углы их сдвига от ЭДС:

$$I_2 = E_2 / \sqrt{(R_2/s)^2 + X_2^2}, \quad (48)$$

$$\operatorname{tg} \Psi_2 = X_2 / (R_2/s). \quad (49)$$

Поэтому и потоки, созданные этими токами, также будут равны и однаково ориентированы в пространстве. Отсюда следует, что замена врашающегося ротора эквивалентным неподвижным не нарушает магнитное состояние двигателя.

Следует обратить внимание на то, что схемы замещения обмотки ротора, представленные на рис. 22 и 23, не эквивалентны в общих схемах одинаковы, но активная мощность в роторе, согласно схеме на рис. 22, равна электрическим потерям:

$$P_{\text{эл.2}} = m_2 I_2^2 R_2. \quad (50)$$

Мощность же, потребляемая ротором по схеме рис. 23,

$$P_{12} = m_2 I_2^2 R_2 / s. \quad (51)$$

Отношение этих мощностей $P_{\text{эл.2}} / P_{12} = s$.

Суть в том, что P_{12} есть полная активная мощность, передаваемая из статора в ротор электромагнитным путем, и она называется электромагнитной мощностью: $P_{12} = P_{\text{эм}}$. Часть этой мощности затрачивается на покрытие электрических потерь в обмотке ротора:

$$P_{342} = m_2 I_2^2 R_2. \quad (52)$$

Остальная мощность будет расходоваться на сопротивления $R_{\text{мех}}$, преобразуясь в теплоту (рис. 24):

$$\begin{aligned} P'_2 &= P_{12} - P_{342} = \\ &= m_2 I_2^2 R_2 / s - m_2 I_2^2 R_2 = \\ &= m_2 I_2^2 R_2 (1 - s) / s = \\ &= m_2 I_2^2 R_{\text{мех}}. \end{aligned} \quad (53)$$

Рис. 23 Схема замещения ротора, показанная на рис. 23.

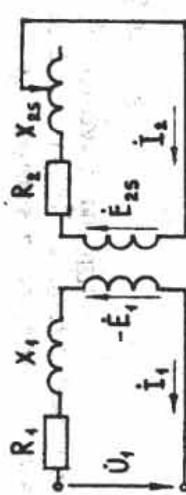


Рис. 22

С учетом всех определений на рис. 22 дана неупрощенная схема замещения фазы обмотки статора и ротора без учета потерь в стали.

3.3. Замещение врашающегося ротора неподвижным.

Схема замещения

На основании схемы замещения (см. рис. 22) составим уравнения напряжений обмотки статора и ротора:

$$\dot{U}_1 = (-\dot{E}_1) + j \dot{I}_1 X_1 + \dot{I}_1 R_1 = -\dot{E}_1 + \dot{I}_1 Z_1, \quad (44)$$

$$0 = \dot{E}_{2s} - j \dot{I}_2 X_{2s} - \dot{I}_2 R_2 = \dot{E}_{2s} - \dot{I}_2 Z_2. \quad (45)$$

Уравнение (45) аналогично уравнению напряжений вторичной обмотки трансформатора в режиме короткого замыкания, когда $U_2 = 0$. Однако в отличие от уравнения трансформатора здесь E_{2s} и X_{2s} изменяются с изменением частоты вращения ротора.

Перепишем уравнение (45) с учетом, что $E_{2s} = E_2 s$ и $X_{2s} = X_2 s$:

$$\dot{E}_2 s - j \dot{I}_2 X_2 s - \dot{I}_2 R_2 = 0. \quad (46)$$

Поделив обе части уравнения на s , получим

$$\dot{E}_2 - j \dot{I}_2 X_2 - \dot{I}_2 R_2 / s = 0. \quad (47)$$

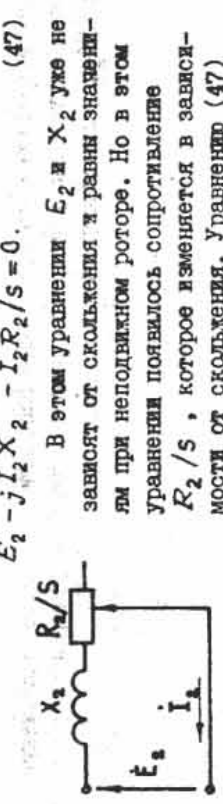


Рис. 23 Схема замещения ротора, показанная на рис. 23.

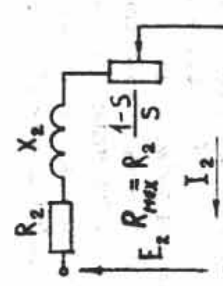


Рис. 24

В реальном приведенном двигателе этой мощности соответствует полная механическая мощность, которая получается в результате преобразования электрической энергии в механическую.

Изак, сопротивление R_2 / s может быть записано в виде суммы двух сопротивлений:

$$R_2 / s = R_2 + R_2 (1-s) / s = R_2 + R_{\text{мех}} \quad (54)$$

Преобразуя уравнение (47) с учетом (54), получаем

$$\dot{I}_2 R_2 (1-s) / s = E_2 - \dot{I}_2 Z_2, \quad (55)$$

где $Z_2 = R_2 + j X_2$ — сопротивление фазы обмотки ротора при $n_2 = 0$ ($s = 1$).

Полученное уравнение (55) соответствует электрической схеме замещения, приведенной на рис. 24. Радиометрическая схема позволяет заменить вращающийся ротор неподвижным, в цепь обмотки которого включено активное сопротивление, зависящее от частоты вращения ротора, и использовать для расчетов Т-образную схему замещения АД с зазоромженным ротором, включив в цепь ротора активное сопротивление, зависящее от нагрузки (рис. 25).

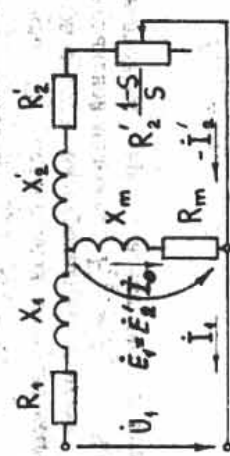


Рис. 25

Приведение параметров обмотки ротора к параметрам обмотки статора, как и в трансформаторе, осуществляется для удобства сопоставления параметров первичной и вторичной обмоток и изображения их в одном масштабе.

Суть приведения состоит в том, что реальный ротор с числом фаз m_2 , числом витков в обмотке фазы ω_2 и обмоточным коэффициентом k_2 заменяется ротором, у которого число фаз, число витков в обмотке и обмоточный коэффициент принятые

такими же, как и у статора. При этом мощность, потери и МДС в приведенном роторе должны сохранять те же значения, что и в реальном роторе.

Так как ω_2 должно равняться ω_1 , и, соответственно, $E_2' = E_1$, используя уравнение (41), находим

$$E_2' = E_1 = E_2 (\omega_1 k_1 / (\omega_2 k_2)) = E_2 K_E. \quad (56)$$

Соотношение между ольами токов находим из равенства МДС

$$0,45 m_2 \omega_1 k_1 I_2' / p = 0,45 m_2 \omega_2 k_2 I_2 / p, \quad \text{откуда}$$

$$I_2' = I_2 m_2 \omega_2 k_2 / (m_1 \omega_1 k_1) = I_2 m_2 / (m_1 k_E). \quad (57)$$

При этом полные мощности будут одинаковыми:

$$S_2 = m_1 E_2' I_2' = m_2 E_2 I_2.$$

Активное сопротивление R_2' находим, приведя в электрические потери в обмотках роторов $m_1 (I_2')^2 R_2' = m_2 I_2^2 R_2$.

Подставив значение I_2' из (57), получим

$$R_2' = R_2 m_1 K_E^2 / m_2. \quad (58)$$

Аналогично получим

$$R_{\text{мех}}' = R_{\text{мех}} m_1 k_E^2 / m_2. \quad (59)$$

Для сохранения неизменным угла отставания между ЭДС и током ротора необходимо, чтобы выполнилось равенство

$$X_2' = X_2 k_E^2 m_1 / m_2. \quad (60)$$

Запишем систему уравнений для АД с приведенным эквивалентным неподвижным ротором:

$$U_1 = -E_1' + \dot{I}_1 (R_1 + j X_1'), \quad (61)$$

$$E_2' = \dot{I}_2' (R_2' + j X_2' + R_2' (1-s) / s), \quad (62)$$

$$\dot{I}_1 = \dot{I}_0 + (-\dot{I}_2'). \quad (63)$$

Поскольку уравнения при неподвижном роторе совпадают с уравнениями трансформатора, векторные диаграммы, как их графическая иллюстрация, тоже будут подобны друг другу (рис. 26).

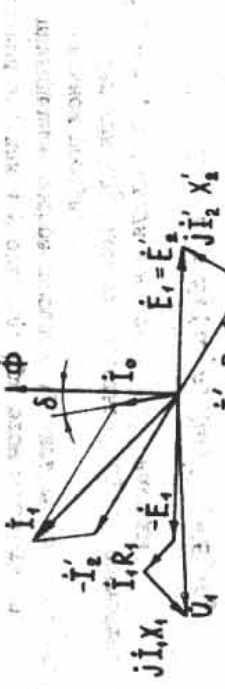


Рис. 26

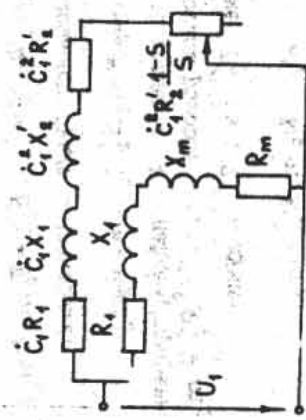


Рис. 27

Для удобства изучения режимов работы двигателя можно представить Г-образную схему замещения в виде Г-образной (с вынесенным намагничиванием контуром), как это показано на рис. 27. Появившийся в этой схеме замещения комплексный коэффициент $C_1 = 1 + (R_1 - jX_1)/(R_m + jX_m)$ в большинстве случаев можно пренебречь.

$$C_1 \approx |C_1| = \left\{ [(R_1 + R_m)^2 + (X_1 + X_m)^2] / (R_m^2 + X_m^2) \right\}^{1/2}$$

Используя Г-образную схему замещения, легко определить силу тока ротора

$$\begin{aligned} I_2 &= U_1 / \left[(R_1 + C_1 R_2' + C_1 R_2' (1-s)^2 + (X_1 + C_1 X_2')^2 \right]^{1/2} \\ &= U_1 / \left[(R_1 + C_1 R_2' / s)^2 + (X_1 + C_1 X_2')^2 \right]^{1/2} \end{aligned} \quad (62)$$

4. ХАРАКТЕРИСТИКИ ДВИГАТЕЛЯ

4.1. Энергетическая диаграмма и вращающий момент

Преобразование активной мощности в асинхронном двигателе можно проиллюстрировать с помощью энергетической диаграммы (рис. 28), в которой $P_1 = m_1 U_1 I_1 \cos \varphi_1$ – потребляемая из сети активная мощность; $P_{\text{эл}1} = m_1 I_1^2 R_1$ – мощность потерь в обмотках статора;

$P_{\text{эл}1}' = m_1 I_1^2 R_1'$ – магнитная мощность в статоре; $P_{\text{эл}2} = P_1 - (P_{\text{эл}1} + P_{\text{мт}})$ – полезная электромагнитная мощность, передаваемая электромагнитным путем через зазор в ротор; $P_{\text{эл}2}'$ – из выражения (52) – мощность потерь в меди обмоток ротора (магнитные потери в стали ротора из-за малости частоты перемагничивания практически отсутствуют); $P_{\text{мех}} = P_{\text{эл}2}' - P_{\text{мт}}$ – полная механическая мощность;

$P_{\text{т}} = P_{\text{мт}}$ – мощность потерь на трение в подшипниках и мощности вентиляционных потерь; $P_{\text{д}}$ – мощность добавочных потерь, возникавших в зазорах статора и ротора при вращении ротора вследствие проходящего через зубцы потока; $P_2 = P_{\text{мех}} - (P_1 + P_{\text{д}})$ – полезная механическая мощность на валу двигателя.

В установившемся режиме $T_2 = \text{const}$, и условие равновесия моментов двигателя имеет вид $M = M_0 + M_2$. Полезному моменту M_2 (моменту на валу двигателя) соответствует полезная механическая мощность $P_2 = M_2 \omega_2 = M_2 2\pi n_2 / 60$. Моменту холостого хода M_0 соответствует $P_0 = P_1 + P_{\text{д}} = M_0 \omega_2$,

где $\omega_2 = 2\pi n_2 / 60$. Из энергетической диаграммы следует, что полная механическая мощность

$$P_{\text{мех}} = P_2 + P_{\text{т}} + P_{\text{д}} = M_2 \omega_2 + M_0 \omega_2 = (M_2 + M_0) \omega_2 = M \omega_2. \quad (63)$$

Вращающийся электромагнитный момент двигателя создается в результате взаимодействия вращающегося магнитного поля статора и тока в роторе. Поле вращается с частотой $n_1 = 60 f_1 / p$. Разрабатываемая им электромагнитная мощность $P_{\text{ЭМ}} = M \omega_1$. Так как $P_{\text{ЭМ}} = P_{\text{Мех}} + P_{\text{Эл},2}$, то

$$P_{\text{ЭМ}} - P_{\text{Мех}} = M(\omega_1 - \omega_2) = P_{\text{Эл},2}, \text{ или } P_{\text{Эл},2} = M\omega_1(\omega_1 - \omega_2) / \omega_1. \quad (64)$$

Из формулы (64) имеем

$$M = P_{\text{Эл},2} / (\omega_1 s) = P_{\text{ЭМ}} / \omega_1, \quad (65)$$

$$s = P_{\text{Эл},2} / (M\omega_1) = P_{\text{ЭМ}} / P_{\text{ЭМ}}. \quad (66)$$

Полученные выражения позволяют установить зависимость электромагнитного момента от параметров машины.

Учитывая, что $P_{\text{Эл},2} = m_2 I_2 E_{2s} \cos \psi_2$, где ψ_2 - угол сдвига фаз между ЭДС и током ротора, получаем

$$M = (p m_2 k_2 / \sqrt{2}) \Phi_m I_2 \cos \psi_2 = C_M \Phi_m I_2 \cos \psi_2, \quad (67)$$

где $C_M = p m_2 k_2 / \sqrt{2}$ - постоянная электрической машины.

Эта формула справедлива для электрических машин всех типов: электромагнитный момент пропорционален произведению магнитного потока на активную составляющую тока ротора, т.е. формула позволяет связать величину момента с физическими явлениями, происходящими в двигателе. Но ее удобно пользоваться только при качественном анализе поведения двигателя, так как входящие в нее величины (Φ_m , I_2 и $\cos \psi_2$) не связаны непосредственно с напряжением сети. Далее будет выведена другая формула для электромагнитного момента, позволяющая более просто определять его величину.

4.2. Механические характеристики

Выражение для электромагнитного момента может быть получено через мощность потерь в приведенном роторе и силу приведенного тока ротора:

$$M = P_{\text{ЭМ}} / (\omega_1 s) = [m_1 U_1^2 R_2' / (\omega_1 s)] / [(R_1 + C_1 R_2' / s)^2 + (X_1 + C_1 X_2')^2]^{1/2}. \quad (67a)$$

Зависимость скорости вращения n_2 от вращающего момента M , т.е. $n_2 = f(M)$ или $M = f(n_2)$, называют уравнением механической характеристики. Иногда эта зависимость выражается в виде $M = f(s)$, что придает уравнению (67a) более общий характер.

Если принять, что параметры двигателя постоянны, то момент при $U_1 = \text{const}$ является функцией только скольжения s . Важным характером изменения этой зависимости.

При малых значениях скольжения ($s \ll 1$) в квадратных скобках знаменателя в выражении (67a) можно пренебречь всеми слагаемыми, кроме $C_1 R_2' / s$. Получим $M \approx (m_1 U_1^2 / (\omega_1 C_1 R_2')) s$, т.е. при малых s электромагнитный момент изменяется пропорционально скольжению и зависимость $M = f(s)$ имеет линейный характер.

При скольжениях, больших единицы или близких к ней, можно пренебречь активными сопротивлениями R_1 и R_2 / s , если сравнить их с индуктивными сопротивлениями X_1 и X_2' . Тогда можно записать

$$M \approx m_1 U_1^2 R_2' / [\omega_1 (X_1 + C_1 X_2') \cdot s].$$

Отсюда следует, что при больших s момент обратно пропорционален скольжению и кривая $M = f(s)$ имеет вид гиперболы.

На основании изложенного кривая $M = f(s)$ при $U_1 = \text{const}$ изображена на рис. 29а для трех возможных режимов работы синхронной машины, а $M = f(n_2)$ на рис. 29б. На рис. 29а показаны три наиболее важные точки двигательного режима. Нормальная работа двигателя означает соответствует прямолинейной части кривой. Здесь располагается точка, отвечающая номинальному моменту: $s_n = 0,015...0,05$. Перегрузочная способность двигателя оценивается по максимальному моменту $M_{\text{так}}$. Скольжение, соответствующее этому моменту, называется критическим, и обычно $s_{kp} = 0,07...0,15$. Кратность моментов

$$K_n = M_{\text{так}} / M_n = 1,7...3.$$

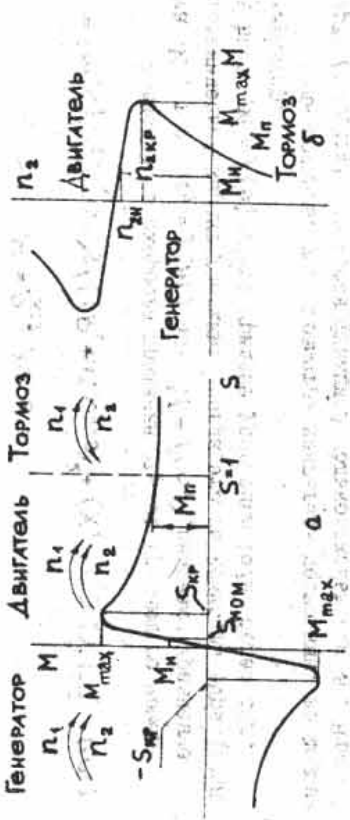


Рис. 29. Схема привода.

S_{kp} можно определить из (67а), взяв производную dM/dS и приравняв ее к нулю. Решив это уравнение относительно S_{kp} , найдем значение S_{kp} :

$$S_{kp} = \pm C_1 R'_2 / [R_1^2 + (X_1 + C_1 X_2)^2]^{1/2}. \quad (68)$$

Знак “+” соответствует режиму двигателя, “-” — генератора.

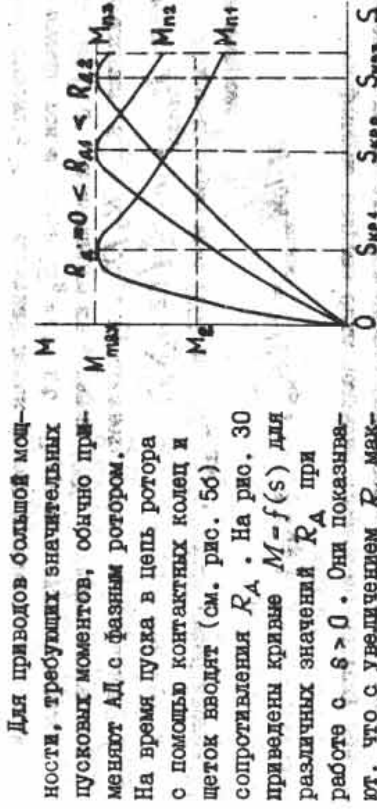
Подставив значение S_{kp} в (67а), после преобразования получим

$$M_{max} = (m_1 U_1^2 / 2 C_1 \omega_1) / [\pm R_1 + (X_1 + C_1 X_2)^2]^{1/2}. \quad (69)$$

Максимальный момент в генераторном режиме больше, чем в двигательном. Обычно из-за малости R'_1 разница в моментах небольшая. Из уравнения (69) также следует, что M_{max} не зависит от R'_2 , однако от R'_2 зависит S_{kp} , при котором АД развивает этот момент. Пренебрегая сопротивлением R_1 , так как $R_1 < (X_1 + C_1 X_2)$, выражение (68) для S_{kp} упрощаем:

$$S_{kp} = \pm C_1 R'_2 / (X_1 + C_1 X_2).$$

Момент при $S=S_{kp}$ называется пусковым (M_p), который выражается, как правило, в долях M_H . У современных трехфазных АД с короткозамкнутым ротором $K_p = M_{II}/M_H = 1,2...2,5$, а кратность пускового тока $I_p/I_H = 3...8$.



Для приводов большой мощности, требующих значительных пусковых моментов, обычно применяют АД с фазным ротором. На время пуска в цепь ротора с помощью контактных колец и щеток вводят (см. рис. 56) сопротивление R_A . На рис. 30 приведены кривые $M=f(s)$ для различных значений R_A при работе с $s > 0$. Они показывают, что с увеличением R_A максимум момента смещается в область больших скользящих со-храния при этом свое значение. Максимальный пусковой момент может быть достигнут при $s_{kp} = 1$, когда $R'_A = X_1/C_1 + X'_2 - R'_2$.

В короткозамкнутую обмотку ротора нельзя ввести во время пуска дополнительное сопротивление. Однако пусковое характеристика двигателя с короткозамкнутой обмоткой можно улучшить, если использовать для увеличения активного сопротивления обмотки ротора повышенный эффект в статорных обмотках, когда в начале пуска частота тока в роторе $f_2 = f_1 S$ больше f_1 . Для этого глубина пазов ротора h , заливых пластины, должна быть значительно больше глубины проникновения электромагнитной волны $\Delta = \sqrt{2\rho/\omega_1(\mu_0)}$, где ρ — удельное сопротивление ал-миния, $(\mu_0 = 4\pi \cdot 10^{-7})$, $\omega_1 = 2\pi f_1$.

При $f = 50$ Гц для алмазной $\Delta = 15$ м, и для $h > 2\Delta$ активное сопротивление обмотки ротора при пуске возрастает в h/Δ раз относительно ее активного сопротивления.

На практике широко используют приближенное выражение механической характеристики двигателя $M = f(s)$. Согласно форму-лам (65) и (48), электромагнитный момент

$$\begin{aligned} M &= P_{el2} \omega_1 s - m_2 R_2 I_2^2 / (\omega_1 S) = \\ &= m_2 s^2 E_2^2 R_2 / [t \omega_1 (R_2^2 + s^2 X_2^2)]. \end{aligned} \quad (70)$$

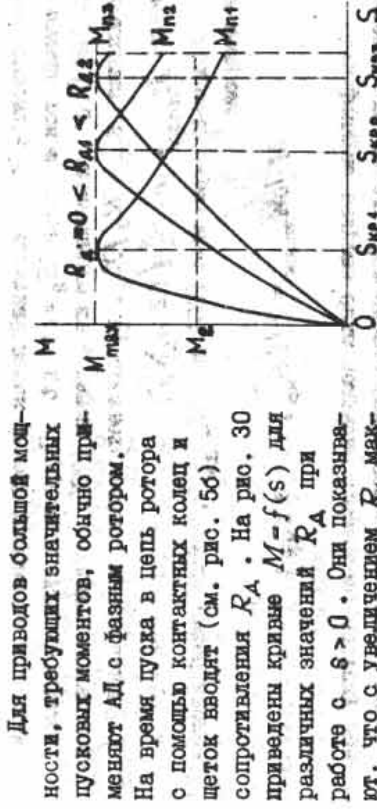


Рис. 30. Пусковые характеристики.

На практике широко используют приближенное выражение механической характеристики двигателя $M = f(s)$. Согласно форму-лам (65) и (48), электромагнитный момент

может быть достигнут при $s_{kp} = 1$, когда $R'_A = X_1/C_1 + X'_2 - R'_2$.

На практике широко используют приближенное выражение механической характеристики двигателя $M = f(s)$. Согласно форму-лам (65) и (48), электромагнитный момент

$$\begin{aligned} M &= P_{el2} \omega_1 s - m_2 R_2 I_2^2 / (\omega_1 S) = \\ &= m_2 s^2 E_2^2 R_2 / [t \omega_1 (R_2^2 + s^2 X_2^2)]. \end{aligned} \quad (70)$$

Быть может, что для этих полей Φ при некотором значении вектора $E_2 = \text{const}$. Приведено выше выражение dM/ds , соответствующее формуле (70), неоднозначное для определения M_{max} . Но если предположить, что

$$S_{\text{exp}} = R_2/X_2 + \text{const},$$

$$M_{\text{max}} = m_2 E_2^2 / (2\omega_1 X_2).$$

$$N/M_{\max} = 2/(s_{\text{kp}}/s + s/s_{\text{kp}}). \quad (71)$$

Это было сделано под руководством М. Красина, посторонний авторитет в области гидравлики. Он видел опасность в расчетах на предельные напряжения при изгибе и сжатии. Но это не помешало ему внести в расчеты на изгиб и сжатие поправку в виде коэффициента 1,3.

Скорость работы электроподъемника может быть спо-
дока установившейся скорости — по карточ-
ке (изданной заводом, на-
значающейся подъемнику), либо
в зависимости от груза.

M — эмаль окраинной зоны делегатов; *M_{ст}* — стационарная эмаль наружных с участия математических построений в драмате-

если $M > M_{ct}$, ускорение потока $d\omega_2/dt = 0$, и поток пропадает с ускорением векторов. Если $M < M_{ct}$ — превышение скорости звука, а при $M < M_{ct}$ — замедляется.

Установлено, что для потока параметры зависят от характера механизма, характеристики двигателя и приборного механизма. При примере на рис. 31 изображены зависимости: $I = n_2 = f(M)$; $n_2 = f(M_{cr})$. Равенство номиналов здесь наступает в точке A и B .

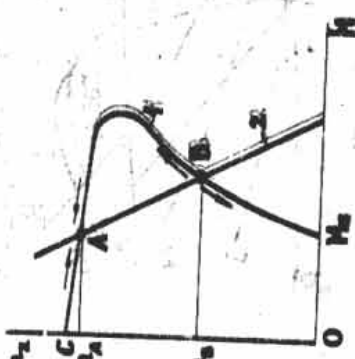
В тоже время в динамике не может поддерживаться устойчивое. Действительно, если случайно скорость увеличится, то разность $M - M_{\text{сп}} < 0$, что приведет к еще большему уменьшению частоты колебания. И в конечном счете поток остановится. При случайной уменьшении частоты превышение разности может быть даже выше, что приведет к еще большему уменьшению частоты колебаний.

Группа АД звездных η_A .
Такие объекты, при которых проявляется в исходном тоне (P),
имеют один образец из
группы ягодного плавника,
каких называют «желточные».
В исходном тоне.
В более сложном тоне.

4.4. Радиоактивные изотопы

Therefore, since $M = M_1 + M_2$, we have $M \approx M_2$.

Зависимости ω , M_2 , I_1 , с



卷三

Таким образом, при некотором расстоянии в некоторую точку (P). Аналогичным образом можно получить уравнение первого порядка, если воспользоваться некоторой в некоторую точку.

4.4. Радиоактивные изотопы

Therefore, since $M = M_1 + M_2$, we have $M \approx M_2$.

Зависимости ω , M_2 , I_1 , с

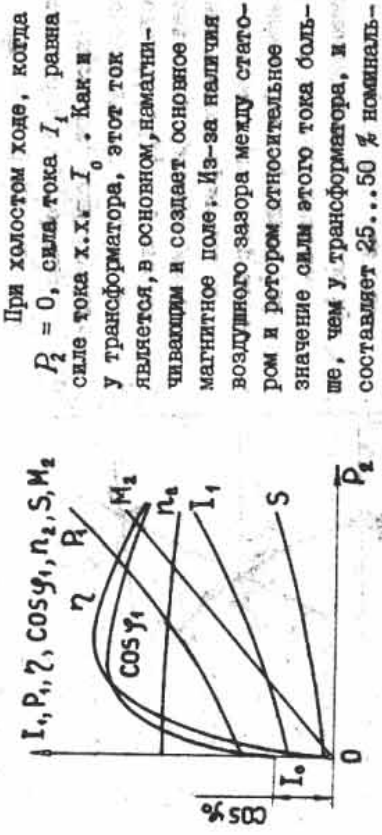


Рис. 32
При холостом ходе, когда
 $P_2 = 0$, сила тока I_1 равна
силе тока х.х. I_0 . Как и
у трансформатора, этот ток
является, в основном, немагнити-
ческим и создает основное
магнитное поле. Из-за наличия
воздушного зазора между стато-
ром и ротором относительное
значение силы этого тока боль-
ше, чем у трансформатора, и
составляет 25...50 % nominal-
ной силы тока статора.

Мощность P_2 при холостом
ходе расходуется на механические потери
в стали P_T , магнитные потери
в стальном моменте статора $P_{\text{эм}}$ от
тока $I_1 = I_0$.

При увеличении момента M_2 сила тока I_2 понижается
за счет увеличения ЭДС $E_{2S} = s E_2$ вследствие снижения скоро-
сти n_2 (увеличения S). Поэтому кривая зависимости $n_2 = f(P_2)$
имеет падающий характер. При холостом ходе из-за наличия M_0
ток $I_2 \neq 0$, следовательно, $n_2 \neq n_1$ и $s \neq 0$.

Реальная характеристика $M_2 = f(P_2)$ несколько отличается
от линейной, так как у АД $\omega_2 \neq \text{const}$.

Коэффициент мощности $\cos \varphi_2 = f(P_2)$ при малых нагрузках
имеет малое значение (0,2...0,3). С увеличением нагрузки он
увеличивается, достигая максимума (0,75...0,85) при нагрузке,
ближкой к nominalной. Это объясняется тем, что в режиме холо-
стого хода и при небольших нагрузках ток из сети имеет значи-
тельно реактивную составляющую, определяемую намагничивающим
током. С ростом нагрузки увеличивается активная составляющая
тока и коэффициент мощности понижается. При $P_2 > P_{\text{ном}}$
 $\cos \varphi_2$ уменьшается, что объясняется тем, что в режиме холо-

стого хода и при небольших нагрузках ток из сети имеет значи-

тельно реактивную составляющую, определяемую намагничивающим

током. С ростом нагрузки увеличивается активная составляющая

тока и коэффициент мощности понижается. При $P_2 > P_{\text{ном}}$

максимальный КПД η_{max} , как и у трансформатора, получа-

ется в режиме, при котором постоянные потери ($P_m, P_r, L_1 + C_1 L_2$), явля-

ющиеся от нагрузки, равны переменным потерям ($P_{\text{эм}}, P_A$), изменяющимися вместе с нагрузкой.

5. РЕГУЛИРОВАНИЕ ВРАЩЕНИЯ ДВИГАТЕЛЯ

Под регулированием будем понимать изменение частоты вра-
щения ротора эксплуатируемым асинхронным двигателем персоналом.
При этом предполагаем, что механическая характеристика нагрузки
остается неизменной.

Частота вращения АД определяется формулой

$$n_2 = n_1 (1 - s) = 60 f_1 (1 - s) / P, \quad (74)$$

из которой следует три принципиально возможных способа регули-
рования вращения: 1) изменением частоты f_1 ; 2) изменением
числа пар полюсов P ; 3) изменением величины скольжения s .

Рассмотрим их подробнее, давая оценку каждого способу по таким
показателям, как диапазон регулирования, плавность регулирова-
ния и изменение КПД при регулировании.

5.1. Частотное регулирование

Частотное регулирование позволяет плавно изменять ско-
рость в широком диапазоне и применять наиболее надежные и де-
шевые АД с короткозамкнутым ротором в системе регулируемого
привода. При частотном регулировании допускается увеличение
скорости в 1,5...2 раза (в основном за счет прочности ротора)
и уменьшение скорости в 10...15 раз относительно nominalной.

Для осуществления частотного регулирования требуется
электромеханические или статические преобразователи частоты,
выполненные, как правило, на тиристорах. Они громоздки и до-
роги.

Для обес печения перегрузочной способности двигателя
 $K_M = M_{\text{max}} / M_{\text{nom}}$ / .
приходится одновременно с изменением частоты f_1 изменять по опре-
деленному закону напряжение U_1 . Так как максимальный момент
приближенно (пренебрегая R_1)

$$M_{\text{max}} \approx \frac{m_1 U_1^2}{2 C_1 \omega_1 (X_1 + C_1 X_2)} = \frac{m_1 \rho U_1^2}{2 C_1 (2 \pi f_1)^2 (L_1 + C_1 L_2)} = K \frac{U_1^2}{f_1^2}, \quad (75)$$

то следует одновременно с частотой изменять и подводимое к дни-
гателю напряжение U_1 / f_1 по закону $U_1 / f_1 = \text{const}$. Отметим,
что при осуществлении такого регулирования основной магнитный

поток двигателя при различных значениях f_1 практически остается неизменным:

$$\Phi_m = (1/(4,44 \omega_1 k_1)) U_1/f_1 = \text{const}.$$

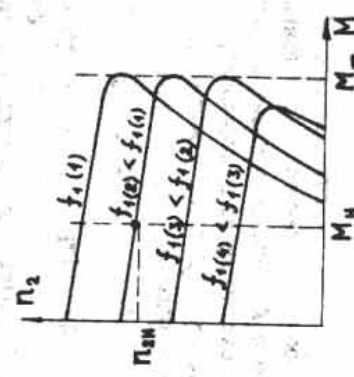


Рис. 33

Механические характеристики двигателя при регулировании с $M_{\max} = \text{const}$, показаны на рис. 33. При таком регулировании энергетические характеристики двигателя остаются практически неизменными.

5.2. Изменение числа пар полюсов

Этот способ применяется обычно для двигателей с короткозамкнутым ротором. Он дает ступенчатое изменение скорости. При частоте 50 Гц и дискретном изменении p в пределах от 1 до 4 возможно получение четырех синхронных частот вращения: 750, 1000, 1500, 3000 об/мин. Поэтому такие двигатели называются многоскоростными. Изменение числа пар полюсов достигается изменением (переключением) схемы соединений обмотки статора, притом таким образом, чтобы при вращающий момент, или мощность, оставались неизменными. При этом КПД не ухудшается.

Многоскоростные двигатели имеют большие габариты и массу по сравнению с двигателями нормального исполнения, а следовательно, и большую стоимость. Применяется этот способ регулирования, если требуется получить различные частоты вращения при одинаковых мощностях.

5.3. Изменение скольжения

Изменение скольжения может быть достигнуто: а) изменением напряжения; б) введением дополнительного активного сопротивления R_d в цепь ротора; в) введением дополнительной ЭДС скольжения в цепь ротора с помощью электрических или электромеханических каскадных соединений асинхронных машин. (Этот способ в данном пособии не поклоняется.)

При изменении скольжения мощность скольжения $sP_{\text{эм}}$ выделяется в виде теплоты (пункты а, б) в электрической цепи обмотки ротора и лишь частично теряется в электрических цепях ротора в виде потерь $T_2 I_2^2 R_2$, а в основном полезно используется (пункт в).

Уменьшение напряжения U_1 . При уменьшении U_1 момента двигателя изменяется пропорционально U_1^2 и, соответственно, изменяются механические характеристики (рис. 34). Как видно, при сохранении характеристики $(M_2 = \text{const})$ диапазон регулирования скорости получается небольшим. Для получения большого диапазона необходимо увеличивать активное сопротивление цепи ротора и соответственно $S P_{\text{эм}}$. Следует учитывать, что во вторичной цепи возникают потери, равные $S P_{\text{эм}}$, вызванные повышенным нагревом ротора и снижение КПД.

Этот способ регулирования скорости применяется, в основном, для двигателей малой мощности с повышенным кратическим скольжением. Введение добавочного сопротивления с помощью реостата в цепь ротора возможно только для АД с фазным ротором. При увеличении активного сопротивления в цепи ротора механическая характеристика изменяется (см. рис. 30): критическое скольжение возрастает, кривая зависимости $M = f(s)$ становится более плавной, и частота вращения при том же моменте уменьшается. Рассматриваемый способ регулирования связан со значительными потерями энергии в реостате и поэтому малоэкономичен.

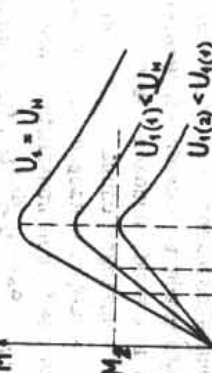


Рис. 34

Увеличение напряжения U_1 . При уменьшении U_1 момента двигателя изменяется пропорционально U_1^2 и, соответственно, изменяются механические характеристики (рис. 34). Как видно, при сохранении характеристики $(M_2 = \text{const})$ диапазон регулирования скорости получается небольшим. Для получения большого диапазона необходимо увеличивать активное сопротивление цепи ротора и соответственно $S P_{\text{эм}}$. Следует учитывать, что во вторичной цепи возникают потери, равные $S P_{\text{эм}}$, вызванные повышенным нагревом ротора и снижение КПД.

Этот способ регулирования скорости применяется, в основном, для двигателей малой мощности с повышенным кратическим скольжением.

Введение добавочного сопротивления с помощью реостата в цепь ротора возможно только для АД с фазным ротором. При увеличении активного сопротивления в цепи ротора механическая характеристика изменяется (см. рис. 30): критическое скольжение возрастает, кривая зависимости $M = f(s)$ становится более плавной, и частота вращения при том же моменте уменьшается. Рассматриваемый способ регулирования связан со значительными потерями энергии в реостате и поэтому малоэкономичен.

К недостаткам реостатного регулирования относятся невозможность регулирования скорости на холостом ходу.

6. Однофазный двигатель

Двигатели этого типа применяются в тех случаях, когда можно получить питание от однофазной сети переменного тока. Это в основном двигатели электробитовых приборов и автоматических устройств.

На статоре двигателя размещается однофазная обмотка, которая занимает 2/3 полиспирного деления. Эта обмотка носит название рабочей. Ротор имеет многогранный короткозамкнутый обмотку в виде делчичего колеса, как и у трехфазного короткозамкнутого двигателя.

Протекая по однофазной обмотке статора, переменный ток создает пульсирующее магнитное поле, которое можно разложить на два одинаковых круговых поля, врачающихся с синхронной частотой $n_1 : n_{1\text{пр}} = n_1 : n_{1\text{обр}} = n_1$. Поскольку свойства АД при круговом врачающемся поле рассмотрены выше (см. пп. 3.2...4.4), то анализ свойств однофазного двигателя можно свести к рассмотрению совместного действия каждого из врачающихся полей.

Поле, которое вращается в одном направлении с ротором, называется прямым, а вращающееся в противоположном направлении — обратным. Соответственно, вращающий момент $M_{1\text{пр}}$, создаваемый прямым полем, является двигательным, а момент $M_{1\text{обр}}$, создаваемый обратным полем, — тормозным.

Скоэжение ротора относительно $\Phi_{1\text{пр}}$

$$S_{1\text{пр}} = (n_{1\text{пр}} - n_1) / n_{1\text{пр}} = (n_1 - n_2) / n_1 = 1 - n_2 / n_1. \quad (76)$$

Скоэжение ротора относительно $\Phi_{0\text{обр}}$

$$S_{1\text{обр}} = (n_{1\text{обр}} + n_2) / n_{1\text{обр}} = (n_1 + n_2) / n_1 = 1 + n_2 / n_1. \quad (77)$$

Из формул (76) и (77) следует

$$S_{1\text{обр}} = 1 + n_2 / n_1 = 2 - S_{1\text{пр}}. \quad (78)$$

При вращении ротора магнитное поле двигателя будет не пульсирующим, как это было при пуске ($S = 1$), а вращающимся эллиптическим. Это объясняется тем, что при $S < 1$ обратное

поле сильно ослабляется вследствие размагничивания действия токов $I_{2\text{обр}}$ и индуцированных этим полем в роторе. Токи $I_{2\text{обр}}$ имеют частоту $f_{2\text{обр}} = f_1 (2 - S)$, которую при небольших S можно принять $f_{2\text{обр}} \approx 2f_1$. Из-за большой частоты тока и, соответственно, индуктивного сопротивления сдвиг по фазе между ЭДС $E_{2\text{обр}}$ и токами $I_{2\text{обр}}$ близок к $\pi/2$. Поэтому поток $\Phi_{2\text{обр}}$, созданный токами $I_{2\text{обр}}$, по отношению к потоку $\Phi_{1\text{обр}}$, имеет встречное направление. Вследствие этого результатирующий поток $\Phi_{\text{обр}}$ уменьшается.

На рис. 35 показаны зависимости $M_{1\text{пр}} = f(S_{1\text{пр}})$, $M_{1\text{обр}} = f(S_{1\text{обр}})$, созданные двумя составляющими магнитного поля, и результативная кривая $M_{\text{рез}} = f(S)$ — ранняя их алгебраической сумме.

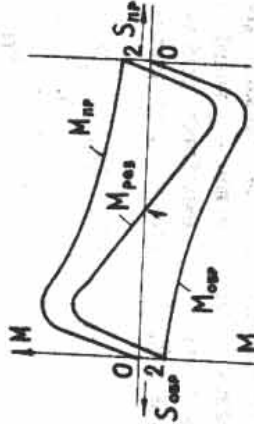


Рис. 35

На основании рисунка можно сделать следующее заключение:

- 1) однофазный двигатель не имеет пускового момента и без специальных устройств не может пройти во вращение;
- 2) рабочие характеристики однофазного двигателя лучше, чем трехфазного; он имеет повышенное скольжение при номинальной нагрузке, меньший КПД, меньшую перегрузочную способность, что объясняется наличием обратного поля;
- 3) мощность однофазного двигателя составляет примерно 2/3 от мощности трехфазного двигателя того же габарита, так как его рабочая обмотка занимает 2/3 пазов статора.

Чтобы получить пусковой момент, однофазные двигатели снабжают пусковой обмоткой, сдвинутой на 90 эл. град. относительно

тельно работой обмотки. На период пуска пусковую обмотку присоединяют к сети через фазосдвигательные элементы – емкость или активные сопротивления. После окончания разгона двигателя пусковую обмотку отключают, при этом двигатель работает как однополюсный.

Поскольку пусковая обмотка работает лишь на этапе разгона, ее изготавливают из провода меньшего сечения, чем рабочую, и укладывают в меньшее число匝 (в 1/3匝数).

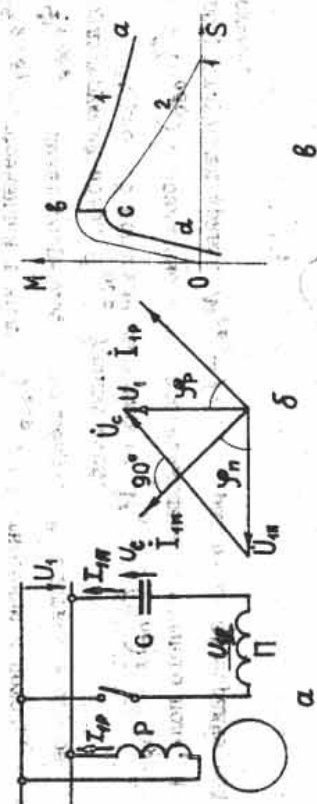


Рис. 36

На рис. 36 показана схема однобарабанного АД с конденсаторным пуском (а), его векторная диаграмма (б) и механическая характеристика (в), где кривая 1 – при включенной, кривая 2 – при выключенной пусковой обмотке. Рабочая точка перемещается при пуске по $\alpha\delta$ характеристики 1, в дальнейшем работает на $\alpha\delta$ характеристики 2.

Так как с включением второй обмотки существенно улучшается механическая характеристика двигателя, то в некоторых случаях вторую обмотку подключают к сети последовательно с конденсатором C_p . Такие двигатели называют конденсаторными. При пуске конденсаторного двигателя для увеличения пускового момента параллельно C_p подключают пусковой конденсатор C_n . После разгона его отключают.

У конденсаторного двигателя обе обмотки работают. При номинальном режиме выбирают число витков и величину рабочей емкости из условия получения кругового поля.

Для работы от однофазной сети могут быть использованы также трехфазные двигатели. Схемы ихключения приведены на

рис. 37. Мощность двигателя при этом не превышает 60 % от номинальной мощности трехфазного режима.

Для привода вентильторов, магнитофонов и других устройств применяют однофазные двигатели с экранированными (разделенными) полюсами (рис. 38а). На явно выраженных полюсах статора намотаны катушки однофазной обмотки возбуждения (ОВ). Каждый полюс статора разделен на две неравные части аксиальными пазами. Меньшую часть полюса охватывает короткозамкнутый виток K . Ротор двигателя короткозамкнутый.

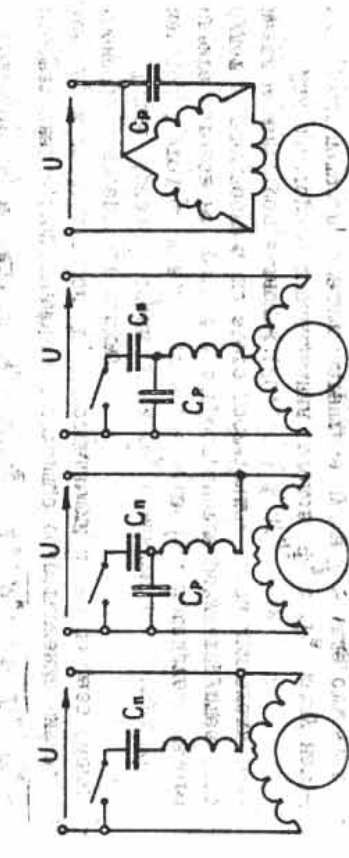


Рис. 37

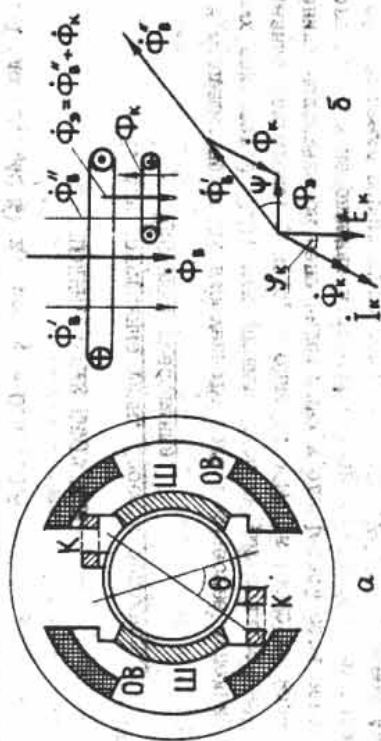


Рис. 38

Работа двигателя основана на расщеплении потока воздушеня. Ток I_b создает пульсирующий магнитный поток Φ_b (рис. 38б), одна часть его $\Phi_{b\alpha}$ проходит по изолированной, а другая $\Phi_{b\beta}$ — по экранированной части полюса, т.е. потоки смеются в пространстве на угол θ (см. рис. 38а). Ток Φ_b создает, как и в трансформаторе, поток Φ_k коротко замкнутого контура. Поэтому в экранированной части полюса действует результатирующий поток $\Phi_3 = \Phi_b'' + \Phi_k$, наводящий ЭДС E_k в коротко замкнутом контуре, под действием которой возникает ток I_k , отстадий от E_k по фазе на $\varphi_k = \arctg \omega L_k / R_k$, где L_k , R_k — соответствующая индуктивность и активное сопротивление витка. Ток I_k и создает поток Φ_k , синхронизаций с ним по фазе (если пренебречь потерями в стали).

Таким образом, потоки Φ_3 и Φ_k складываются во времени на некоторый угол ψ и в пространстве — на θ . Вследствие малого сдвига потоков во времени и в пространстве, результатирующее поле будет эллиптическим, но этого достаточно, чтобы двигатель создавал момент, составляющий $(20...40) \% M_n$.

Для некоторого вращивания потоков Φ_3 и Φ_k между якорными пластинами помещают магнитные щиты III в виде стальных пластин (см. рис. 38а).

Двигатели с экранированными полюсами изготавливают мощностью до 300 Вт при напряжениях 115, 127 и 220 В. Для таких двигателей опасны частые пуски. У них отсутствует реверс, никаких КПД (до 20...40 %) и $\cos \varphi = 0,4...0,6$.

7. ИСПОЛНИТЕЛЬНЫЕ ДВИГАТЕЛИ

7.1. Конструктивные типы. Способы исполнения.

Основные требования

В следящих приборах переменного тока в качестве исполнительных двигателей (ИД), как правило, используют асинхронные двухфазные двигатели, у которых одна из обмоток (обмотка возбуждения) подключается непосредственно к однофазной сети переменного тока, а напряжение к другой (управляемой) обмотке подается от усилителя переменного тока (рис. 39). Исполнительные АД (ИД) служат для преобразования подводимого к ним электрического сигнала во вращение вала. При заданном моменте сопротивления частота вращения должна строго соответствовать подводимому напряжению и изменяться при изменениях его величины и фазы. Таким образом, ИД являются управляемыми двигателями.

Когда сигналы на расщеплении потока воздушеня (рис. 38б), одна часть его Φ_b проходит по изолированной, а другая Φ_b — по экранированной части полюса, т.е. потоки смеются в пространстве на угол θ (см. рис. 38а). Ток Φ_b создает, как и в трансформаторе, поток Φ_k коротко замкнутого контура. Поэтому в экранированной части полюса действует результатирующий поток $\Phi_3 = \Phi_b'' + \Phi_k$, наводящий ЭДС E_k в коротко замкнутом контуре, под действием которой возникает ток I_k , отстадий от E_k по фазе на $\varphi_k = \arctg \omega L_k / R_k$, где L_k , R_k — соответствующая индуктивность и активное сопротивление витка. Ток I_k и создает поток Φ_k , синхронизаций с ним по фазе (если пренебречь потерями в стали).

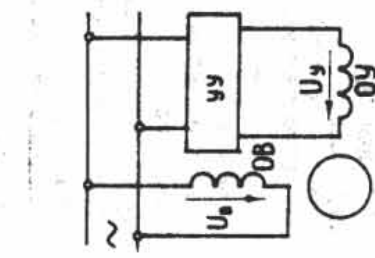


Рис. 39

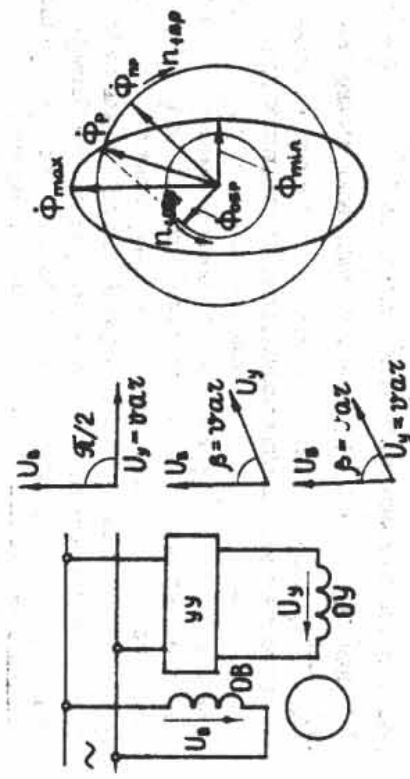


Рис. 40

Частоту вращения ИД регулируют изменением напряжения по величине и фазе. При этом вращающееся магнитное поле превращается из кругового в эллиптическое, которое можно представить в виде двух круговых полей, врачающихся в противоположных направлениях относительно направления вращения ротора (рис. 40). Обратно вращающееся поле создает горизонтальный момент ротору. Вследствие чего изменяется вращение ротора. Чем больше выражена эллиптичность поля, тем значительнее уменьшается скорость ротора.

Регулирование скорости двигателя может осуществляться изменением напряжения U_y при постоянной его фазе — амплитудно-фазовое управление, изменением фазы постоянного напряжения U_y — фазно-фазовое управление (см. рис. 39).

Направление вращения ротора ИД зависит от того, какое из напряжений (U_b или U_y) является опережающим по фазе.

Помимо общих требований, предъявляемых ко всем машинам (малые габариты и масса, высокая КПД и др.), к ИД предъявляют специфические требования, главными из которых являются: управ-

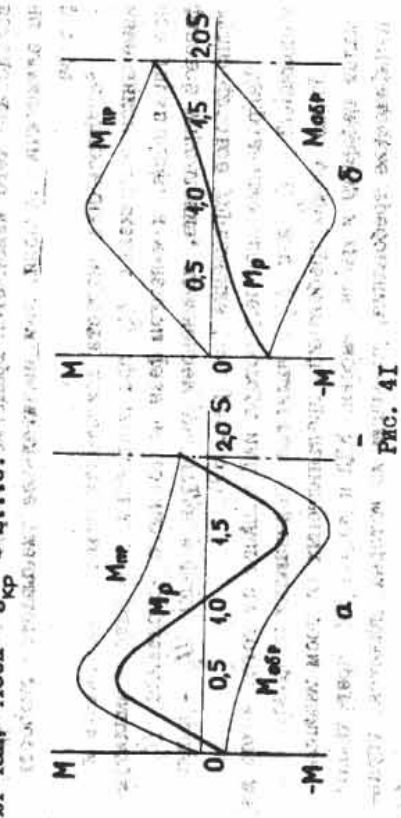
ление сигналами во вращение вала. При заданном моменте сопротивления частота вращения должна строго соответствовать подводимому напряжению и изменяться при изменениях его величины и фазы. Таким образом, ИД являются управляемыми двигателями.

лиаемость при всех режимах работы (отсутствие самхода); линейность механических и регулировочных характеристик, быстродействие, малая мощность управления.

Одно из первичных требований, предъявляемых к ИАД, заключается в том, что при снятии сигнала управления ротор должен остановиться без прыжения, какихлибо тормозящих устройств, т.е. должен отсутствовать самход. При $U_y = 0$ ИАД может рассматриваться как однобарабаный. В однофазном двигателе общего применения результирующий момент при пуске ($s = 1$) равен нулю, а в остальном диапазоне $s > 0$ он больше нуля (см. рис. 35). Следовательно, такой двигатель, в качестве исполнительного применять нельзя, так как при $U_y = 0$ он не останавливается, т.е. теряет управление.

Чтобы двигатель не терял управление и останавливался в однофазном режиме, необходимо выдержать условие $M_{obr} \geq M_{pr}$ во всей области изменения скольжения $1 > s > 0$. Так как $S_{obr} = 2 - S_{pr}$, то условие отсутствия самхода можно записать в таком виде: $M_{pr}(s) \leq M_{obr}(2-s)$. Это условие выполняется при $S_{kp} \geq 1$. На рис. 41а и б показаны зависимости $M_p = f(s)$ для однофазного двигателя при $S_{kp} = 0,5$ (а) и $S_{kp} = 1$ (б). Во втором случае в области скольжения $1 > s > 0$ имеет место неравенство $M_{obr} \geq M_{pr}$.

Практически, учитывая требования, не только отсутствие самхода, но и линейности характеристики, параметры ИАД выбирают так, чтобы $S_{kp} = 2 - 0,5 = 1,5$. При этом на рис. 41а и б видно, что характеристика M_p не лежит в области M_{obr} , т.е. не удовлетворяет условию $M_{obr} \geq M_p$.



50

Быстродействие ИАД можно обеспечить, если выполнить их ротор с малым моментом инерции.

В зависимости от конструкции ротора различают следующие виды ИАД: 1) с полным немагнитным ротором; 2) с короткозамкнутым ротором; 3) с полным ферромагнитным ротором; 4) с массивным ферромагнитным ротором.

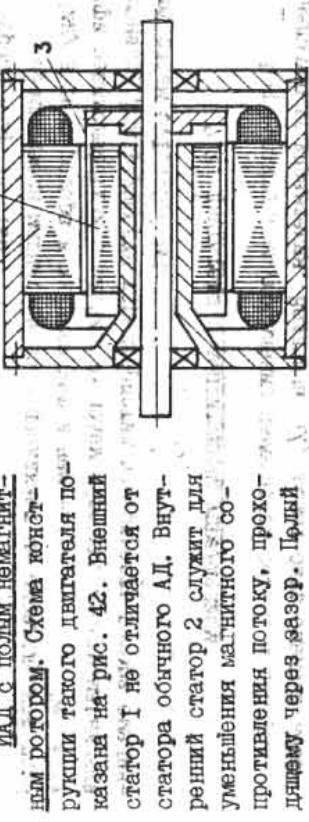


Рис. 42
Схема конструкции ИАД с полным немагнитным ротором.

Из-за большого зазора намагничивающий ток двигателя достигает 90 % от nominalного. Коэффициент мощности и КПД двигателя низкие. К преимуществам таких двигателей следует отнести быстродействие и бесшумность вращения. ИАД с полным немагнитным ротором изготавливают мощностью от долей ватт до сотен ватт на частоты 50, 400, 500, 800, 1000 Гц.

Иногда полый ротор выполняют стальным. При этом внутренний статор не требуется, и конструкция двигателя сильно упрощается. Однако следует иметь в виду, что стальной ротор чувствителен к неравномерности воздушного зазора, и при недобольшом эксцентриситете может произойти его "притяжение" к статору.

ИАД с короткозамкнутым ротором. Эти двигатели применяют в сильноточных электротехнических устройствах, где быстродействие не играет существен-

ного значения.

В зависимости от конструкции ротора различают следующие виды ИАД: 1) с полным немагнитным ротором; 2) с короткозамкнутым ротором; 3) с полным ферромагнитным ротором; 4) с массивным ферромагнитным ротором.

Из-за большого зазора намагничивающий ток двигателя достигает 90 % от nominalного. Коэффициент мощности и КПД двигателя низкие. К преимуществам таких двигателей следует отнести быстродействие и бесшумность вращения. ИАД с полным немагнитным ротором изготавливают мощностью от долей ватт до сотен ватт на частоты 50, 400, 500, 800, 1000 Гц.

Иногда полый ротор выполняют стальным. При этом внутренний статор не требуется, и конструкция двигателя сильно упрощается. Однако следует иметь в виду, что стальной ротор чувствителен к неравномерности воздушного зазора, и при недобольшом эксцентриситете может произойти его "притяжение" к статору.

ИАД с короткозамкнутым ротором. Эти двигатели применяют в сильноточных электротехнических устройствах, где быстродействие не играет существен-

ную роль. Обмотку ротора выполняют из материала с повышенным удельным сопротивлением (латунь, бронза), доссткая $S_{\text{кр}} = 3 \dots 4$. ИД с массивным ферромагнитным ротором. Эти двигатели работают при высоких скоростях. Их ротор выполнен в виде массивного цилиндра из стали или чугуна, обладает большим моментом инерции и прочностью.

Вращающееся магнитное поле проникает на определенную глубину в тело ротора и индуктирует в нем токи. Эти токи при взаимодействии с магнитным полем образуют электромагнитный момент. Для улучшения характеристик поверхности ротора омега-литий слоем 0,1...0,3 мм.

7.2. Двигатели с амплитудным управлением

При амплитудном управлении изменяется только амплитуда напряжения управления. Величина U_y может быть оценена коэффициентом сигнала $\alpha = U_y / U_b' = k U_y / U_b$, где $U_b' = U_b / k$ — напряжение возбуждения, приведенное к числу витков обмотки управления через $k = \omega_b / \omega_y$.

Если $\alpha = 1$, то магнитное поле будет круговым; если $\alpha \neq 1$ — амплитудическим; если $\alpha = 0$ — пульсирующим.

В общем случае $\omega_b \neq \omega_y$, для упрощения анализа положим $k = 1$.

Для определения основных свойств ИД применем метод симметричных составляющих, согласно которому любая несимметричная двухфазная система временных векторов, например напряжений (рис. 43), может быть разложена на две симметричные составляющие, каждая из которых состоит из двух векторов, одинаковых по значению и сдвинутых между собой на угол 90° . Одна из них (система векторов напряже-

ний прямой последовательности $\dot{U}_{b\pi}$ и $\dot{U}_{y\pi}$) имеет чередование фаз таков же, как и у исходной несимметричной системы; другая (система векторов обратной последовательности \dot{U}_{b0} и \dot{U}_{y0}) имеет противоположное чередование фаз.

Согласно рис. 43 можно записать следующие уравнения:

$$\dot{U}_b = \dot{U}_{b\pi} + \dot{U}_{b0}; \quad \dot{U}_y = \dot{U}_{y\pi} + \dot{U}_{y0}; \quad \dot{U}_{b\pi} = j \dot{U}_{y\pi}; \quad \dot{U}_{b0} = -j \dot{U}_{y0}, \quad (79)$$

т.е. напряжения равны по значению и сдвинуты на 90° . Следовательно,

$$\dot{U}_b = \dot{U}_{b\pi} + \dot{U}_{b0}; \quad \dot{U}_y = -j \dot{U}_{b\pi} + j \dot{U}_{b0}. \quad (80)$$

Решая уравнения относительно $\dot{U}_{b\pi}$ и \dot{U}_{b0} , получаем

$$\dot{U}_{b\pi} = (\dot{U}_b + j \dot{U}_y) / 2; \quad \dot{U}_{b0} = (\dot{U}_b - j \dot{U}_y) / 2. \quad (81)$$

Аналогично определяются симметричные составляющие напряжений в фазе управления:

$$\dot{U}_{y\pi} = -j \dot{U}_{b\pi} = (-j \dot{U}_b + \dot{U}_y) / 2; \quad \dot{U}_{y0} = j \dot{U}_{b\pi} = (j \dot{U}_b + \dot{U}_y) / 2. \quad (82)$$

У исходной несимметричной системы напряжений прямой последовательности при амплитудном управлении $\dot{U}_y = -j \alpha \dot{U}_b$, поэтому

$$\dot{U}_{b\pi} = 0,5 \dot{U}_b (1 + \alpha); \quad \dot{U}_{y\pi} = -0,5 j \dot{U}_b (1 + \alpha); \quad (83)$$

$\dot{U}_{b0} = 0,5 \dot{U}_b (1 - \alpha)$, $\dot{U}_{y0} = 0,5 j \dot{U}_b (1 - \alpha)$. Схемы замещения АД для напряженей прямой (рис. 44а) и обратной (рис. 44б) последовательностей состоят из раздельно, так как они отличаются значениями активного сопротивления ротора. Активные сопротивления роторов зависят от скольжения относительно прямого и обратного магнитных полей:

$$R'_2 / s_n = R'_2 / [(n_1 - n_2) / n_1] = R'_2 / (1 - \nu), \quad s_n = s_{np}; \quad (84)$$

$$R'_2 / s_0 = R'_2 / [(n_1 + n_2) / n_1] = R'_2 / (1 + \nu), \quad s_0 = s_{obr}, \quad (85)$$

где $\nu = n_2 / n_1$ — относительная частота вращения ротора.

Рис. 43

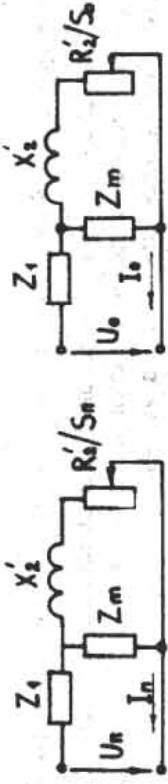


Рис. 44



Рис. 45

Анализ свойств ИД можно существенно облегчить, если воспользоваться по идеализированным схемам замещения для прямого (рис. 45а) и обратного (рис. 45б) полей. В этих схемах учитывается только активное сопротивление ротора. Основанием для идеализации служит то, что ротор ИД делает с постоянным аксиальным сопротивлением. Для этих схем

$$Z_{\text{вн}} = Z_{\text{уп}} = R'_2 / (1 - \nu), \quad Z_{\text{вн}} = Z_{\text{вн}} = R'_2 / (1 + \alpha^2), \quad (66)$$

а составляющие токов управления и возбуждения

$$\begin{aligned} \dot{I}_{\text{уп}} &= -0.5j(\dot{U}_0 / R'_2)(1 + \alpha)(1 - \nu), \quad \dot{I}_{\text{уп}} = 0.5j(\dot{U}_0 / R'_2)(1 - \alpha)(1 + \nu); \\ \dot{I}_{\text{вн}} &= 0.5(\dot{U}_0 / R'_2)(1 + \alpha)(1 - \nu), \quad \dot{I}_{\text{вн}} = 0.5(\dot{U}_0 / R'_2)(1 - \alpha)(1 + \nu). \end{aligned} \quad (67)$$

Действующее значение токов

$$\dot{I}_{\text{уп}} = I_{\text{уп}} = I_n = 0.5(U_0 / R'_2)(1 + \alpha)(1 - \nu); \quad (68)$$

$$I_{\text{вн}} = I_{\text{вн}} = I_0 = 0.5(U_0 / R'_2)(1 - \alpha)(1 + \nu). \quad (69)$$

Электромагнитные мощности для полей прямой и обратной последовательности на основании упрощенных схем

$$P_{\text{эм}} = 2 I_n^2 R'_2 / (1 - \nu) = (U_0^2 / 2 R'_2)(1 + \alpha)^2(1 - \nu); \quad (90)$$

$$P_{\text{эм}0} = 2 I_0^2 R'_2 / (1 + \nu) = (U_0^2 / 2 R'_2)(1 - \alpha)^2(1 + \nu). \quad (91)$$

Результирующая электромагнитная мощность двигателя

$$P_{\text{эм}} = P_{\text{эм}0} - P_{\text{эм}0} = (U_0^2 / R'_2)[2\alpha - (1 + \alpha^2)]. \quad (92)$$

Вращающий момент двигателя

$$M = P_{\text{эм}} / \omega_1 = (U_0^2 / \omega_1 R'_2)[2\alpha - (1 + \alpha^2)]. \quad (93)$$

Выразим момент в относительных единицах, приняв за базисную величину значение момента M_k при круговом магнитном поле ($\alpha = 1$) и при неподвижном роторе ($\nu = 0$). Так как

$$M_k = 2 U_0^2 / (\omega_1 R'_2), \quad \text{то относительный момент}$$

$$m = M / M_k = \alpha - 0.5\nu(1 + \alpha^2). \quad (94)$$

На рис. 46 построены в относительных единицах графики механических характеристик идеализированного ИД $m = f(\nu)$ при различных α . При неизменном α зависимость $m = f(\nu)$ является линейной. Относительный момент при пуске численно равен коэффициенту сопротивления α . С изменением α изменяется и механическая характеристика. При холостом ходе ($\nu = 0$)

$$\nu = \nu_0 = 2\alpha / (1 + \alpha^2). \quad (95)$$

Уравнение регулировочной характеристики получим, решив уравнение (94) относительно ν :

$$\nu = 2(\alpha - m) / (1 + \alpha^2). \quad (96)$$

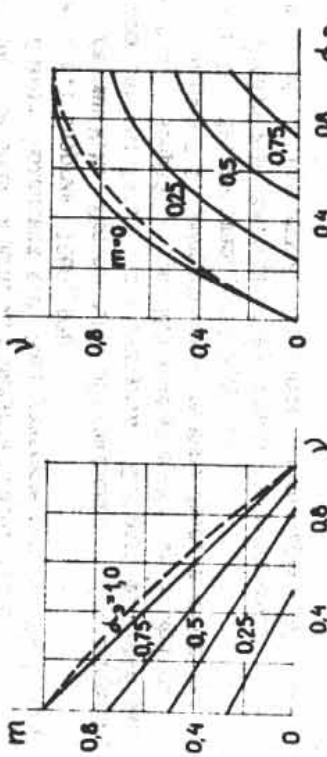


Рис. 46

Рис. 47 55

Регулировочные характеристики (рис. 47) показывают, как изменяется частота вращения ИД при изменениях коэффициента сопротивления.

Если момент остается постоянным, минимальное значение, при котором ротор начинает вращаться, преодолевает заданный момент настушки, называется напряжением пуска.

Характеристики реального двигателя должны определяться по полной схеме замещения (см. рис. 44). Так, механическая характеристика $m = f(\nu)$ реального двигателя для $\alpha = 1$ изображена штриховой линией на рис. 46. Сравните указанную характеристику, можно отметить, что реальная механическая характеристика машинки, это обусловлено, в основном, наличием индуктивного сопротивления двигателя, нарушающего линейную зависимость крутящего момента от частоты вращения.

Характеристики ИД при фазовом и амплитудно-фазовом методах управления не приводятся из-за ограниченности объема пособия. Более полноеложение теории асинхронных двигателей можно найти в приведенной ниже литературе.

ЛИТЕРАТУРА

- Брускин Д.Э., Зароманч А.Е., Хвостов В.С.: Электрические машины и магнитные. Учеб. для вузов: 2-е изд., перераб. и доп. М.: Высшая школа, 1981. 432 с.
- Волков Н.И., Милловзоров В.П. Электромашинные устройства автоматики: Учеб. для вузов. 2-е изд., перераб. и доп. М.: Высшая школа, 1986. 335 с.
- Вольдек А.И. Электрические машины: Учеб. для вузов. 3-е изд., перераб. и доп. Л.: Энергия, 1978. 840 с.
- Иванов-Смоленский А.В. Электрические машины: Учеб. для вузов. М.: Энергия, 1980. 928 с.
- Капран М.М., Кирров Ф.М. Электрические машины автоматических систем: Учеб. для техникума / Под ред. Ф.М. Киррова. 2-е изд., перераб. и доп. М.: Высшая школа, 1979. 231 с.
- Токарев Б.Ф. Электрические машины: Учеб. пособие для вузов. М.: Энергоиздат, 1990. 624 с.
- Штеров Ф.М. Электрические машины автоматических устройств. Учеб. для вузов. М.: Высшая школа, 1976. 416 с.

ОГЛАВЛЕНИЕ

Введение	3
1. Конструкция асинхронных машин	3
1.1. Устройство асинхронного двигателя	3
1.2. Основные принципы выполнения обмотки	6
2. Магнитодвижущая и электродвижущая силы обмотки	11
2.1. Магнитодвижущая сила	11
2.1.1. Однофазная обмотка	11
2.1.2. Двухфазная обмотка	18
2.1.3. Трехфазная обмотка	20
2.2. Потокосцепление и электродвижущая сила	20
3. Электромагнитные процессы в цепях двигателя	24
3.1. Принцип действия машины	24
3.2. Магнитные поля, ЭДС и индуктивности обмотки	26
3.3. Замещение вращающегося ротора неподвижным	28
Схема замещения	28
4. Характеристики двигателя	33
4.1. Энергетическая диаграмма и вращающий момент	33
4.2. Механические характеристики	34
4.3. Устойчивость работы	38
4.4. Рабочие характеристики	39
5. Регулирование вращения двигателя	41
5.1. Частотное регулирование	41
5.2. Изменение числа пар полюсов	42
5.3. Изменение скольжения	43
6. Однофазный двигатель	44
7. Исполнительные двигатели	48
7.1. Конструктивные типы. Способы исполнения. Основные требования	48
7.2. Двигатели с амплитудным управлением	52
Литература	56